

# 模拟电子线路

课件资源：基于《电子技术基础 模拟部分》(康华光主编第五版)以及模电组郝育闻、林秋华、巢明等教师的课件编写。

- 大连理工大学电信学部
- 创新园A-416 余隽
- 84706002-3416
- junyu@dlut.edu.cn



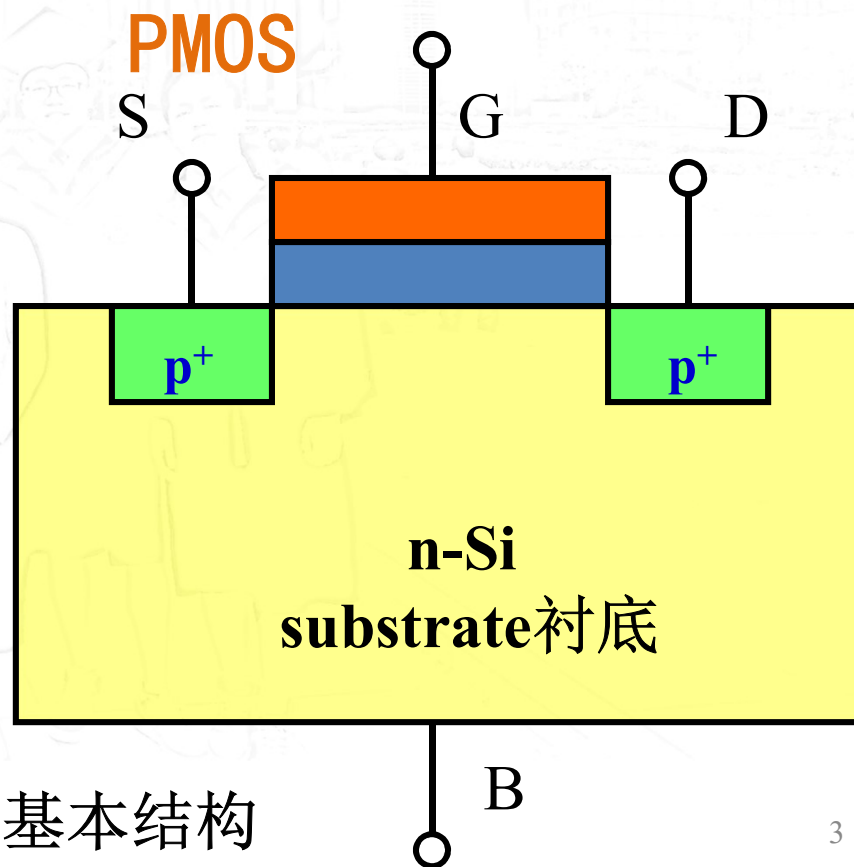
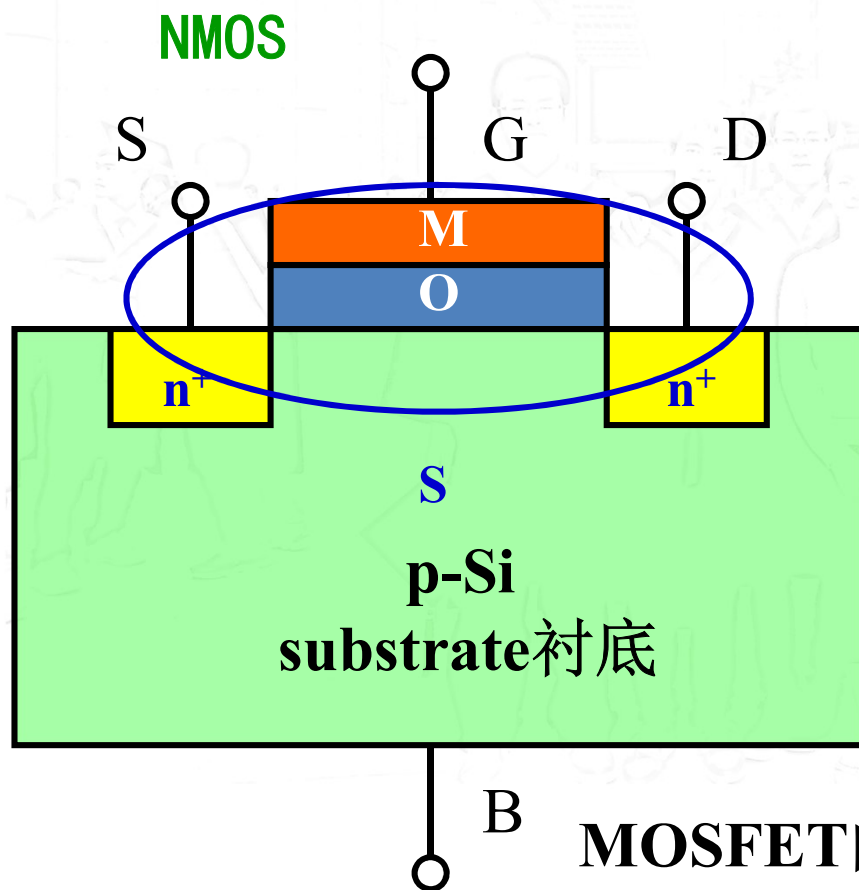


## 5.1.1 结构与原理

**MOSFET: Metal Oxide Semiconductor Field Effect Transistor**

S—源极source D—漏极drain G—栅极gate B—体body

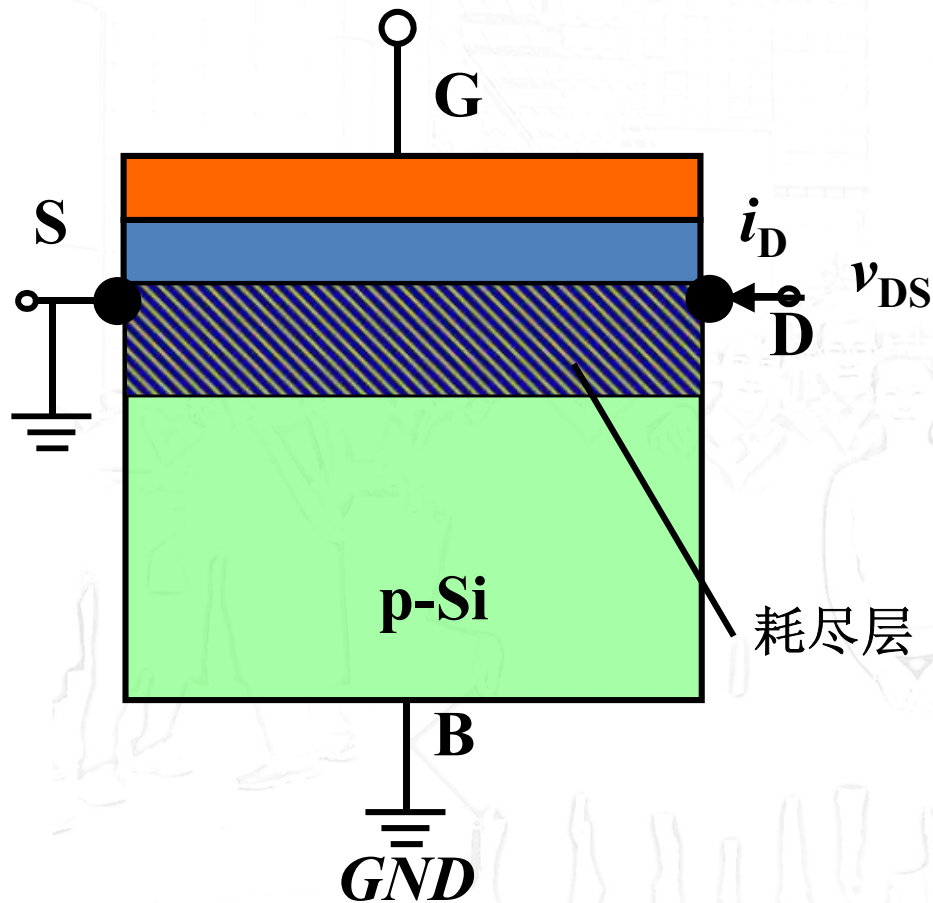
**基本状态：两个PN结均不导通！**



**MOSFET的基本结构**

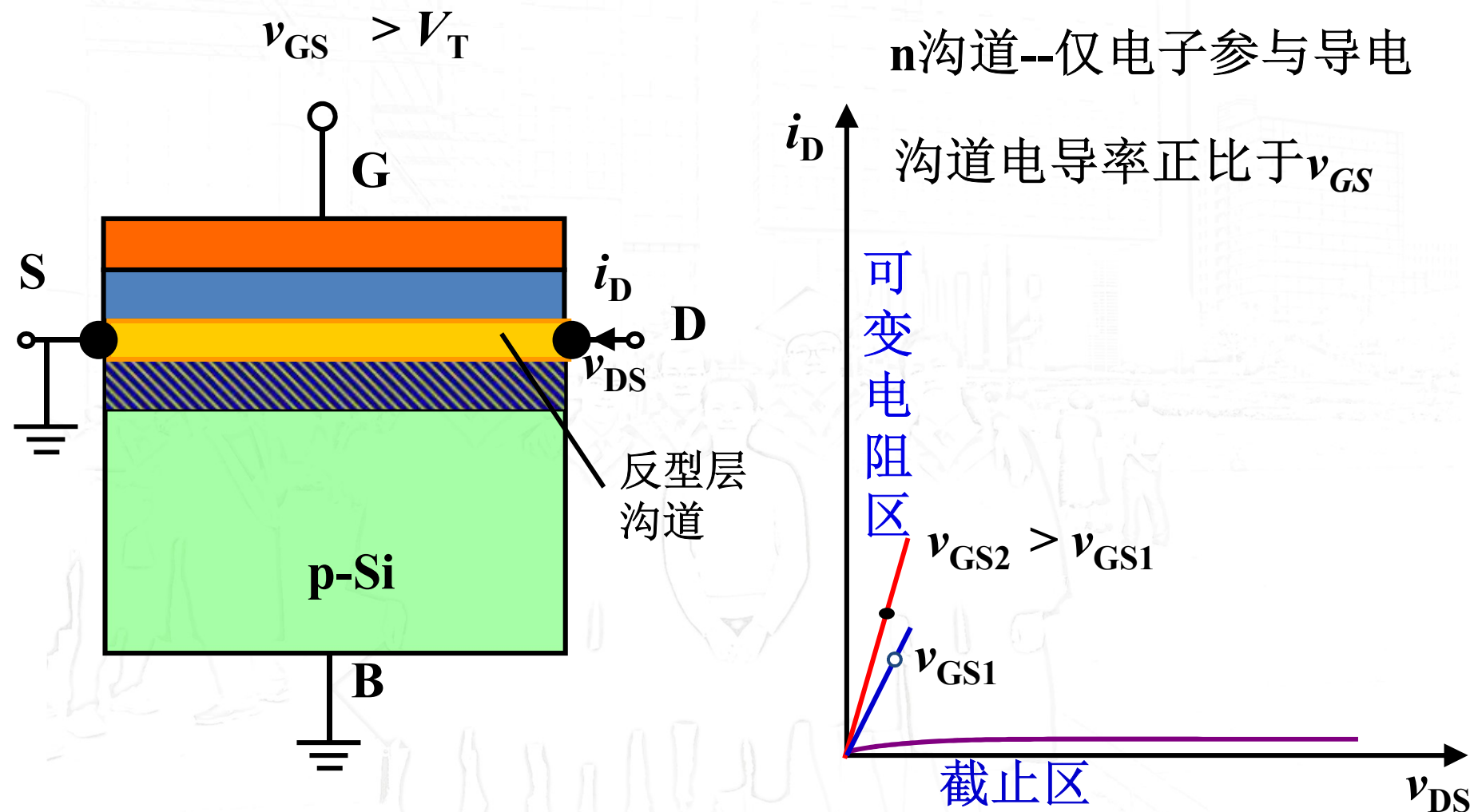
## 5.1.1 结构与原理（增强型MOSFET）

$$0 < v_{GS} \leq V_T$$



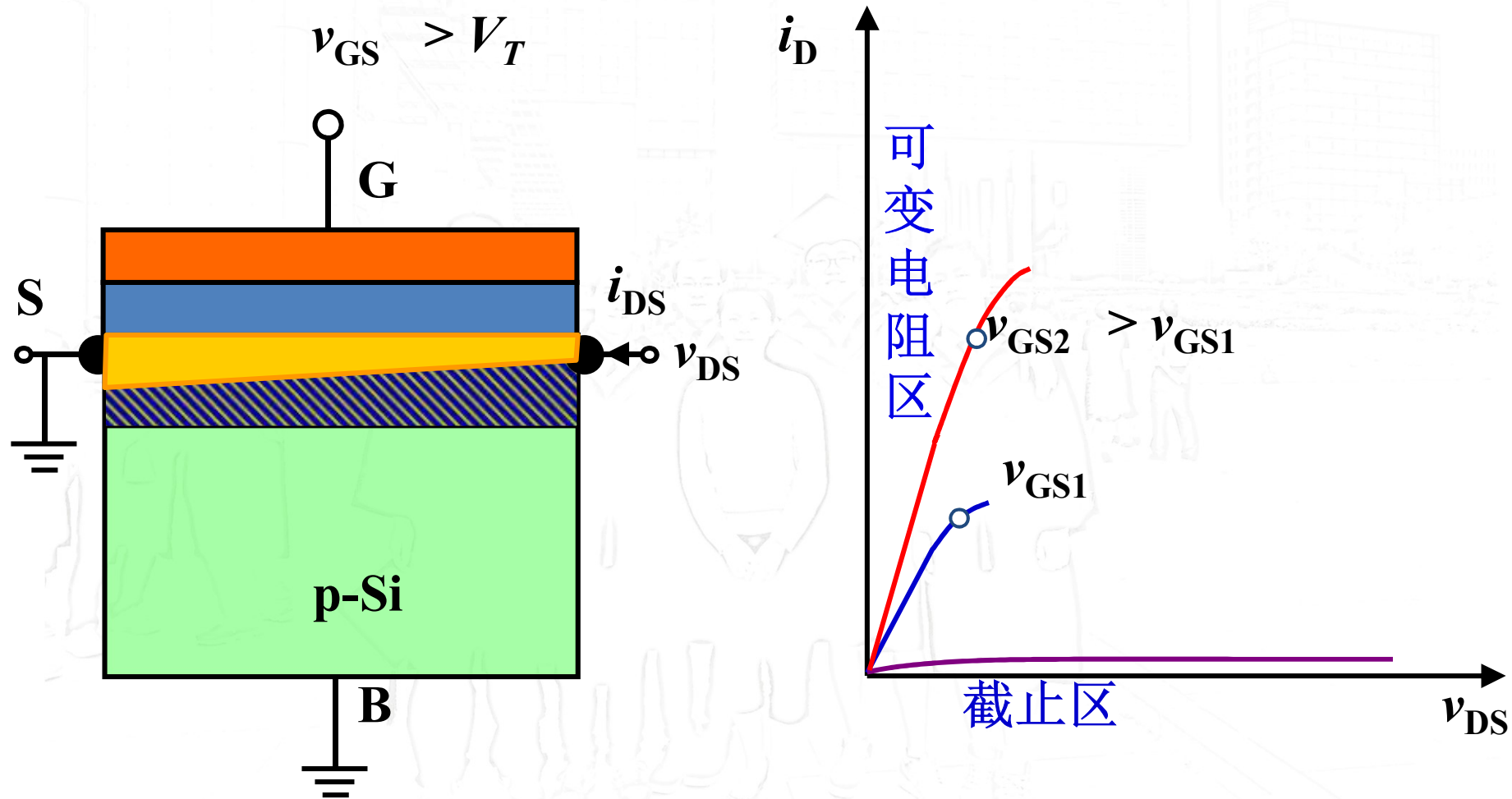
**截止区** ( $v_{GS} \leq V_T$ ):  
无电流通路,  
漏源电流  $I_D \approx 0$ ;

**截止区**



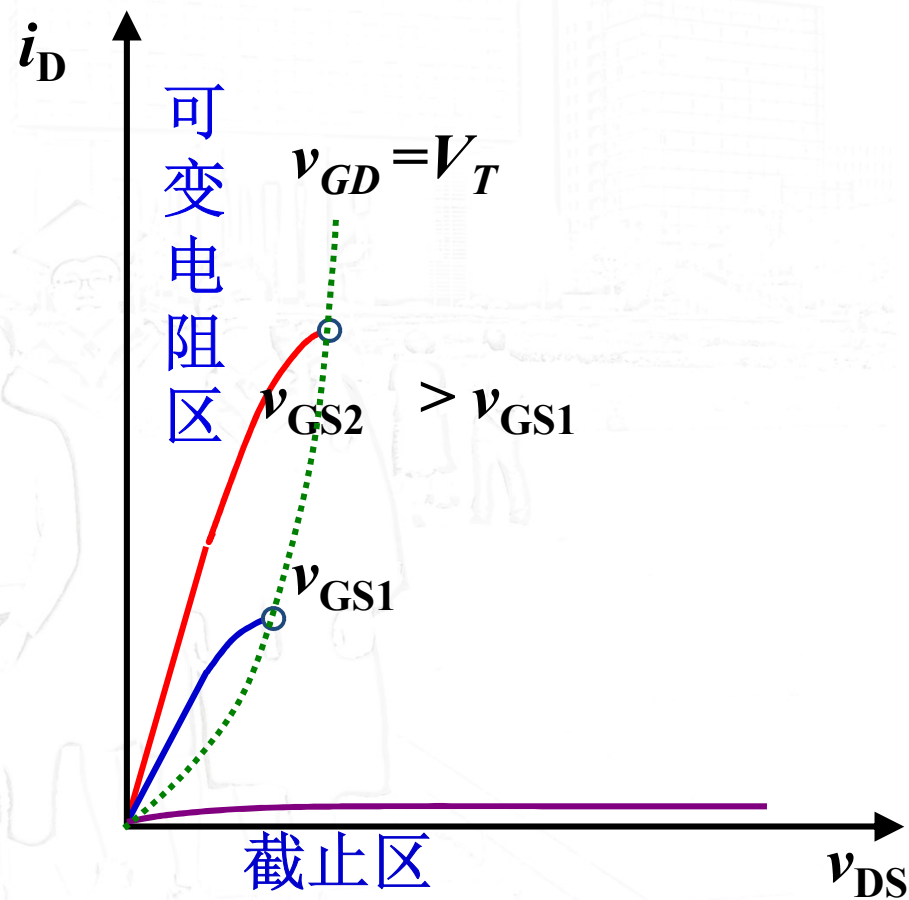
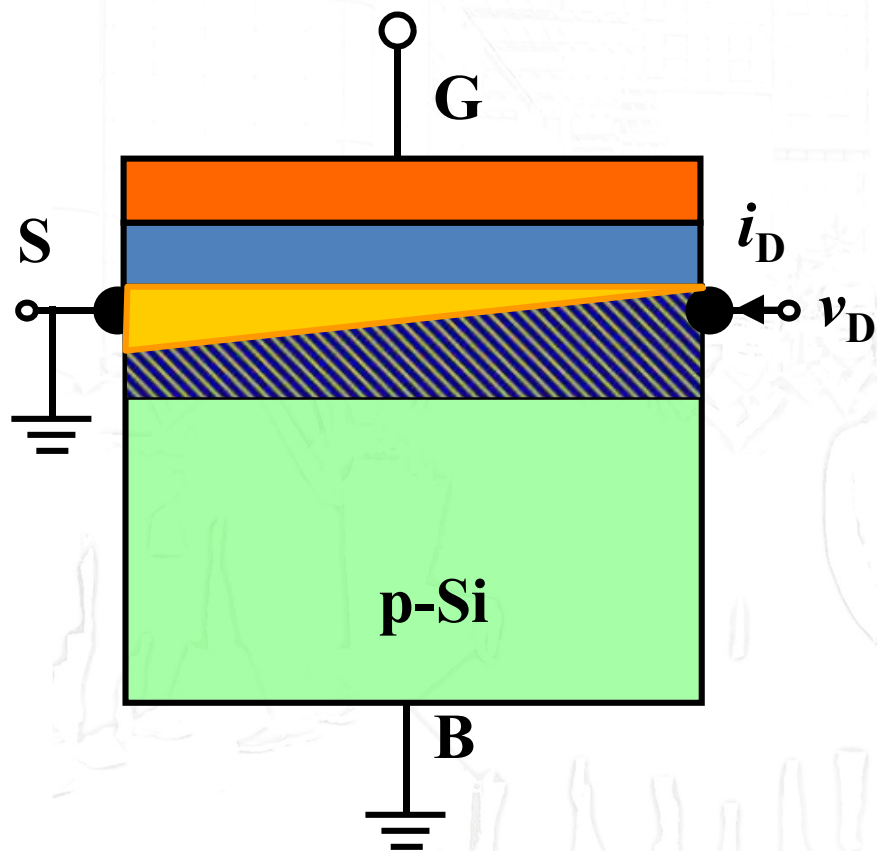


$v_{DS}$  逐渐增大,  $v_{GD}$  逐渐减小, 吸引少子较少,  
漏端沟道减小, 沟道电阻增大。

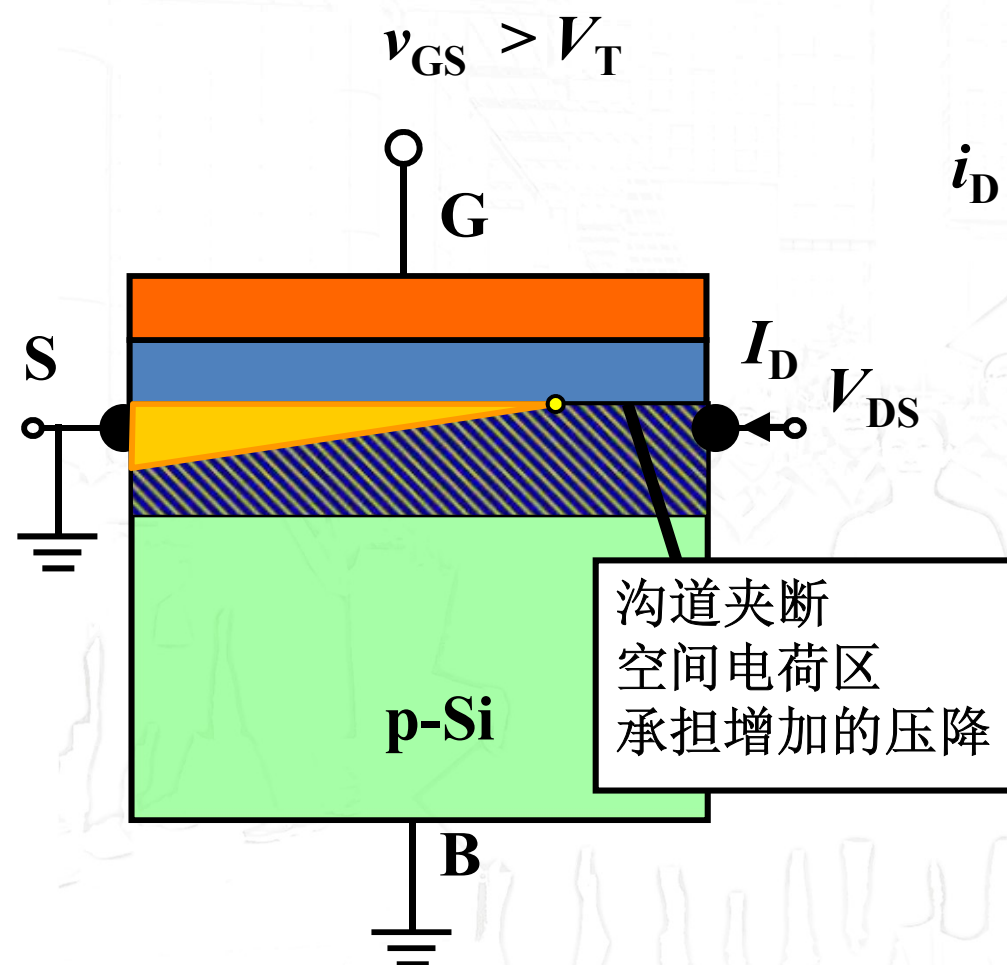


当 $v_{DS}$ 增大，使 $v_{GD}$ 减小到 $v_{GD} = V_T$

$v_{GS} > V_T$  漏极处沟道预夹断 (pinch off)



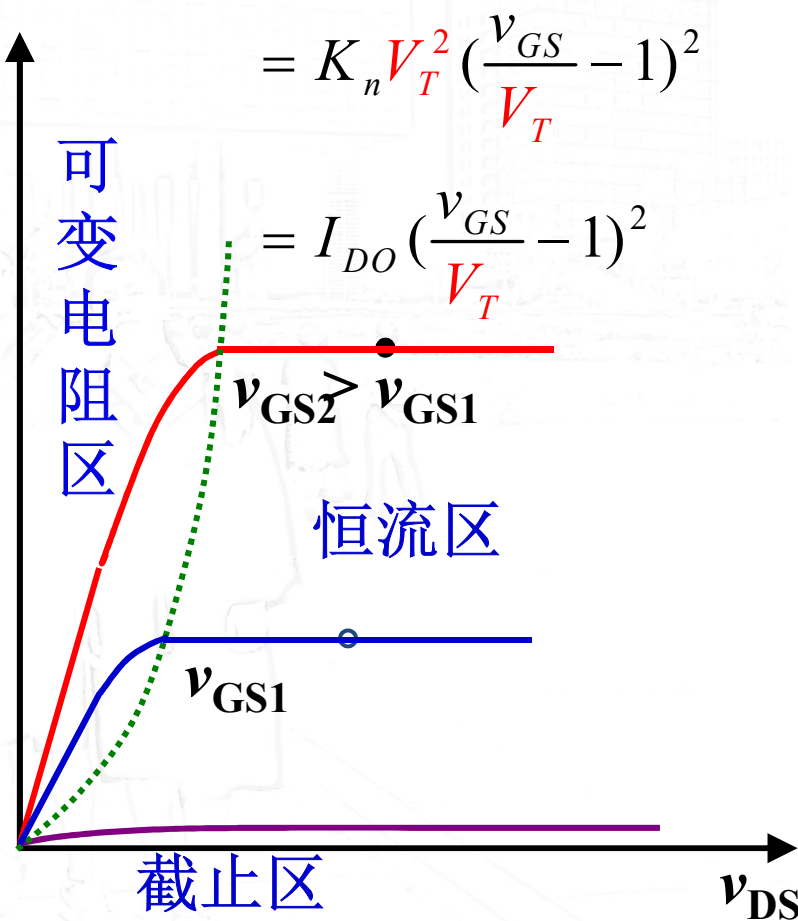
当 $v_{DS}$ 继续增大:  $v_{GD} < V_T$   $i_D$ 达到饱和, 不再随 $v_{DS}$ 增加。



$$i_D = K_n (v_{GS} - V_T)^2$$

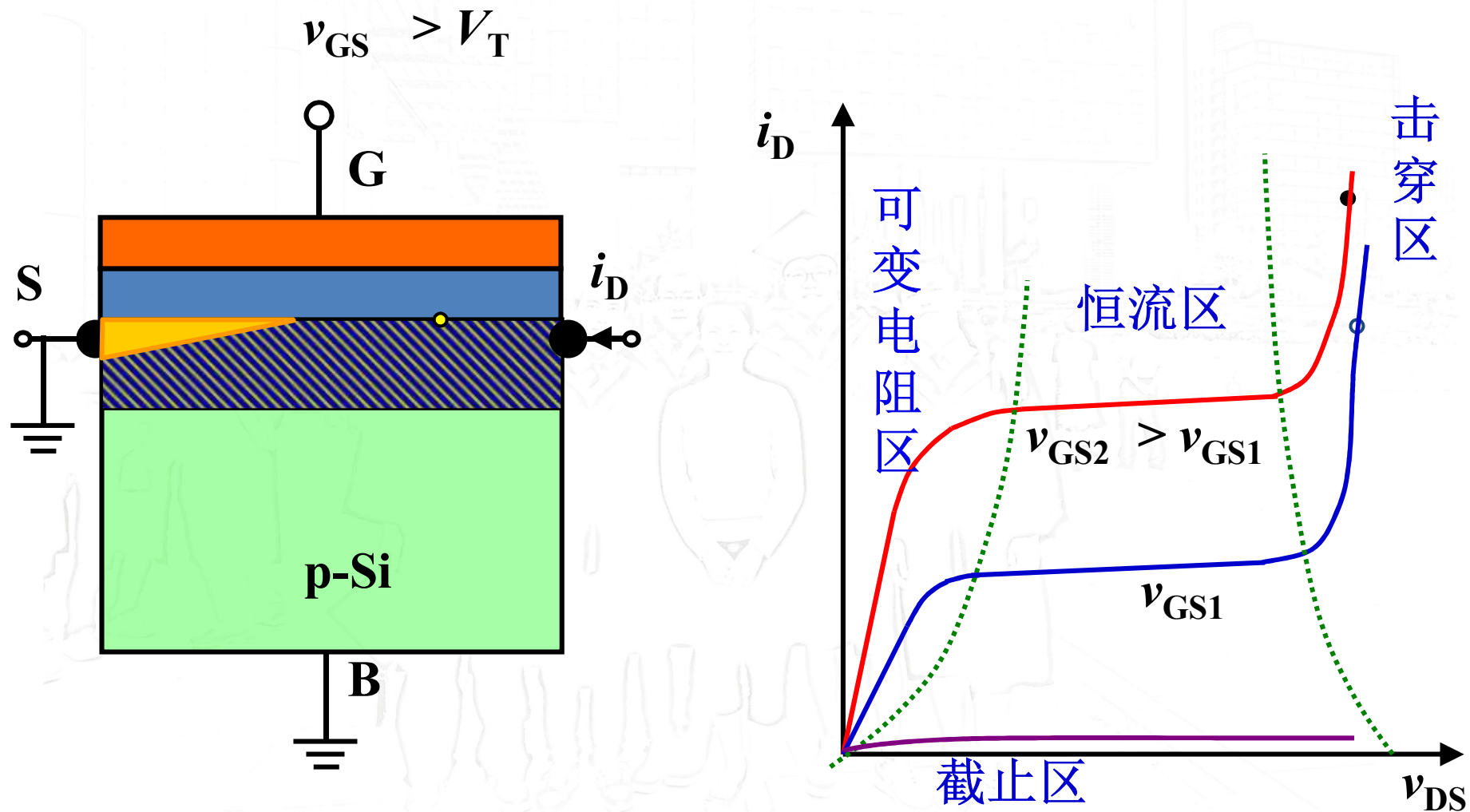
$$= K_n V_T^2 \left( \frac{v_{GS}}{V_T} - 1 \right)^2$$

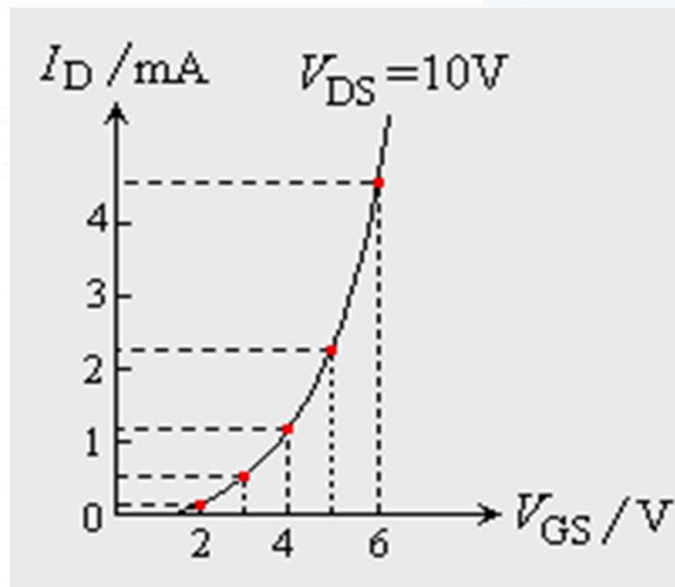
$$= I_{DO} \left( \frac{v_{GS}}{V_T} - 1 \right)^2$$



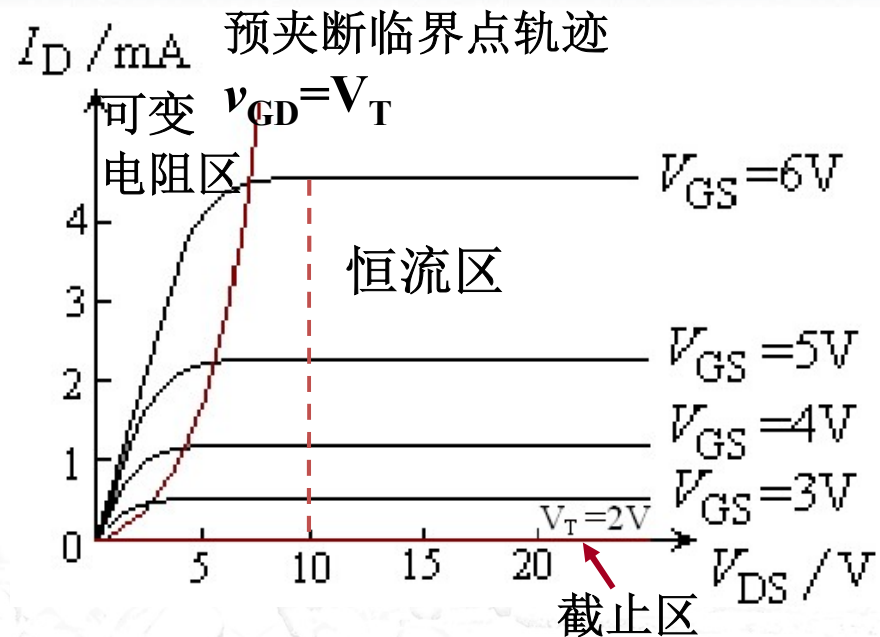


当 $v_{DS}$ 继续增大：漏与衬底pn结击穿，漏电流迅速增大





放大区转移特性曲线



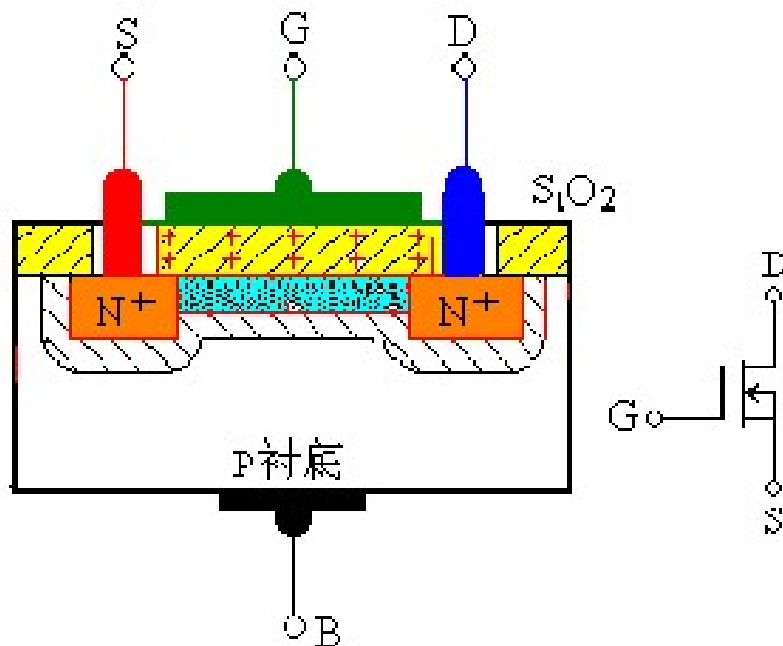
1) 截止区  $v_{GS} \leq V_T$ ,  $i_D = 0$

2) 可变电阻区  $v_{GS} > V_T$ ,  $v_{GD} > V_T$  ( $v_{DS} < v_{GS} - V_T$ )

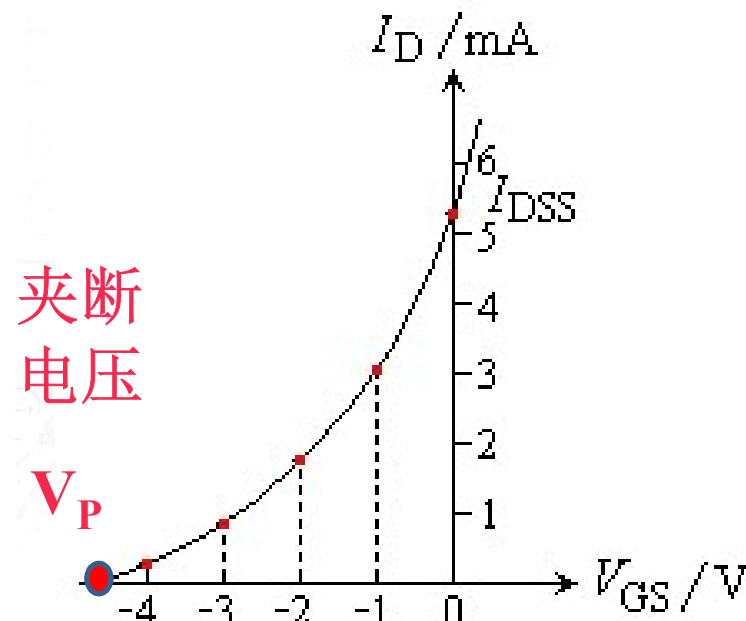
3) 恒流区 (放大区)  $v_{GD} < V_T < v_{GS}$  ( $v_{DS} \geq v_{GS} - V_T$ )

$$I_D = I_{D0} [V_{GS} / V_T - 1]^2$$

## 另：N沟道耗尽型MOSFET



(a) 结构和符号



(b) 转移特性曲线

增强型NMOS:  $i_D = K_n (v_{GS} - V_T)^2$

$$I_{DO} = K_n V_T^2 \quad = K_n V_T^2 \left( \frac{v_{GS}}{V_T} - 1 \right)^2$$

$(v_{GS} = 2V_T)$

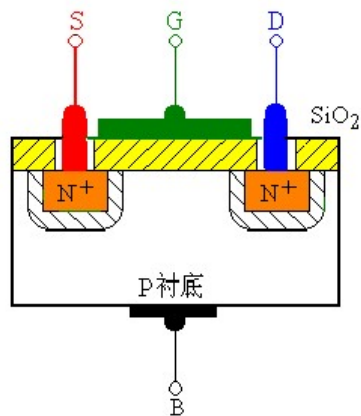
$$K_n = \frac{1}{2} \mu_n C_{OX} \left( \frac{W}{L} \right) \quad = I_{DO} \left( \frac{v_{GS}}{V_T} - 1 \right)^2$$

耗尽型NMOS:

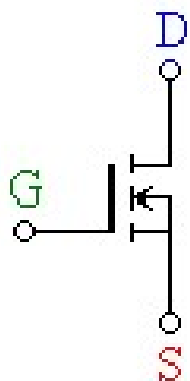
$$i_D \approx I_{DSS} \left( 1 - \frac{v_{GS}}{V_P} \right)^2$$

$$i_D \approx K_n V_P^2 = I_{DSS} \quad (v_{GS} = 0)$$

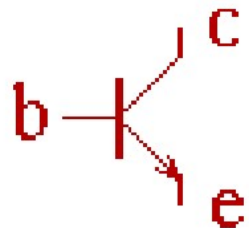
## 5.1.2 符号与特性



**D(Drain):** 漏极  
**G(Gate):** 栅极  
**S(Source):** 源极  
**B(Body):** 衬底  
 (Substrate)

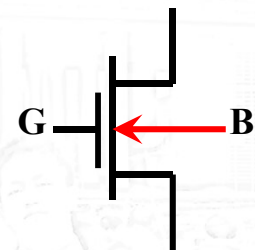


箭头:  
 $P \rightarrow N$

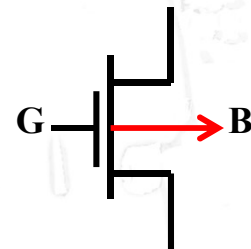


\*Je箭头:  
 $P \rightarrow N$

D 相当于 c  
 G 相当于 b  
 S 相当于 e



**NMOS**  
 (类似NPN管)



**PMOS**  
 (类似PNP管)

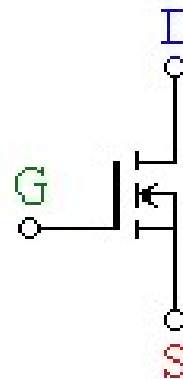
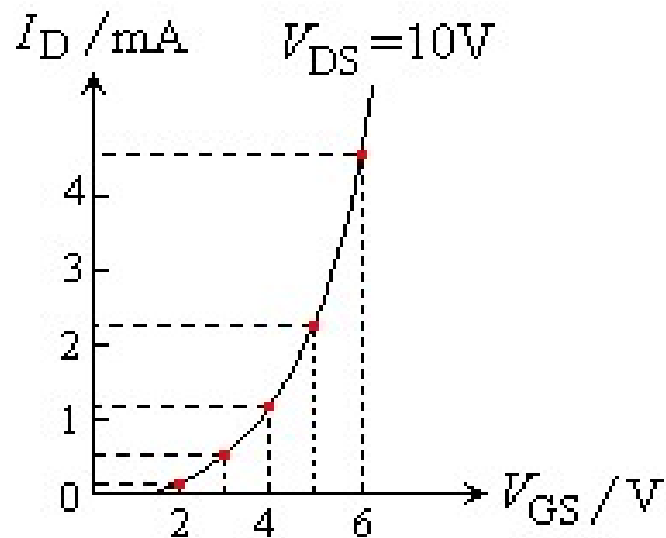
# 特性曲线

## I-V Characteristics

### 1、转移特性曲线

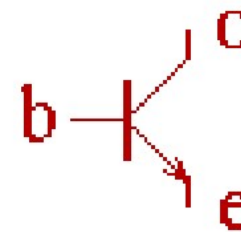
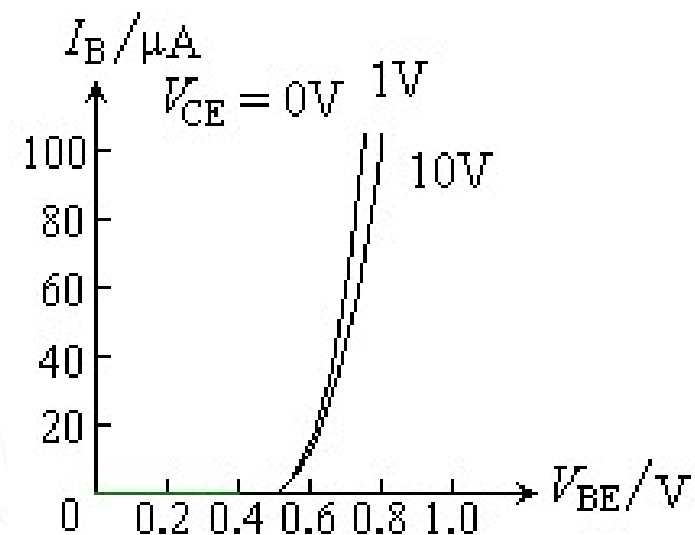
Transfer Characteristic

$$i_D = f(v_{GS}) \mid v_{DS} = \text{const}$$



### 1、输入特性曲线

$$i_B = f(v_{BE}) \mid v_{CE} = \text{const}$$





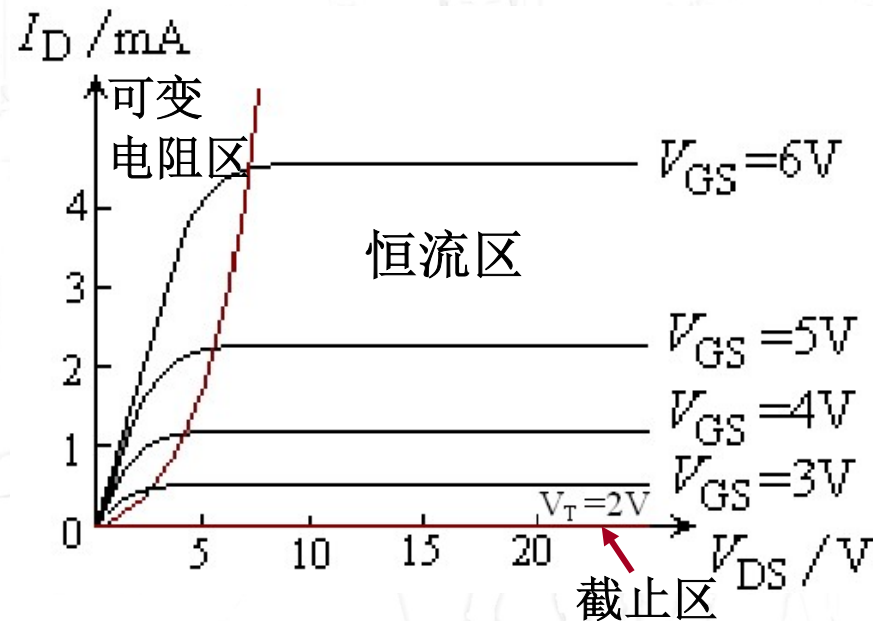
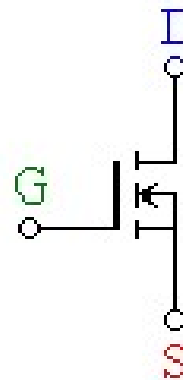
# 特性曲线

## I-V Characteristics

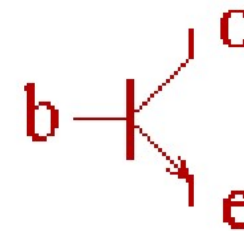
### 2、输出特性曲线

Drain Characteristics

$$i_D = f(v_{DS}) \mid v_{GS} = \text{const}$$

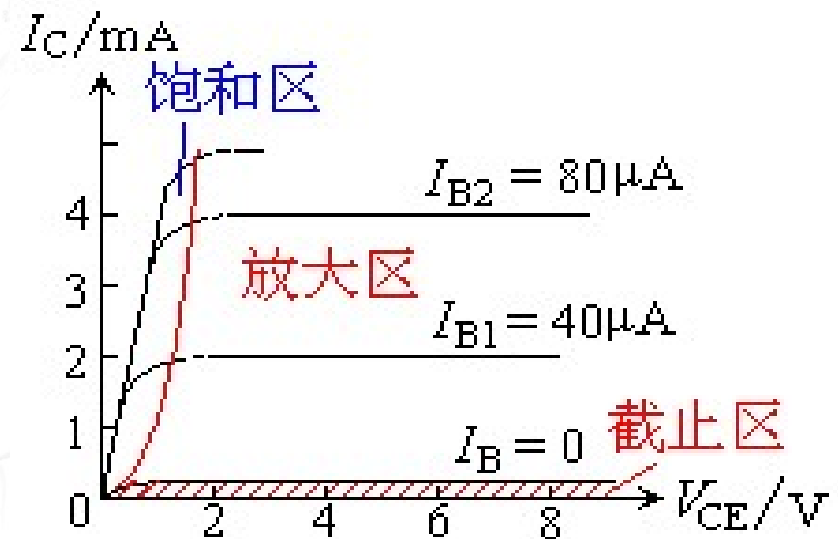


**VCCS!**



### 2、输出特性曲线

$$i_C = f(v_{CE}) \mid i_B = \text{const}$$



**CCCS!**

### 5.1.3 主要参数 (与MOS类型有关, 以NMOS为例)

#### (1) 直流参数

①  $V_T$ ——开启电压(增强型)

$$V_{GS} \leq V_T \text{ 时, } I_D \approx 0$$

or  $V_P$ ——夹断电压(耗尽型)

$$\text{当 } V_{GS} \leq V_P \text{ 时, } I_D = 0$$

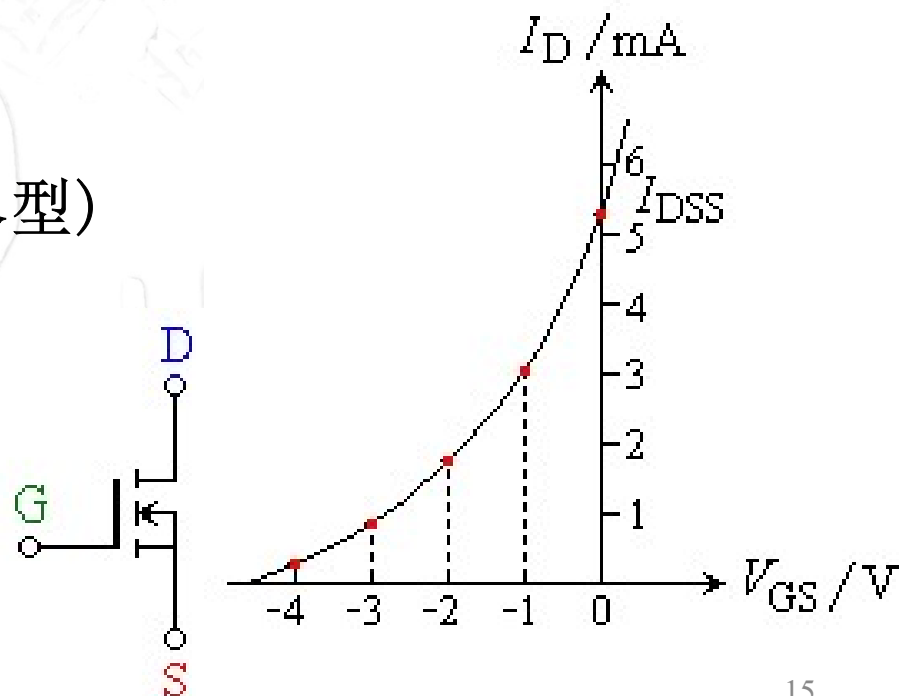
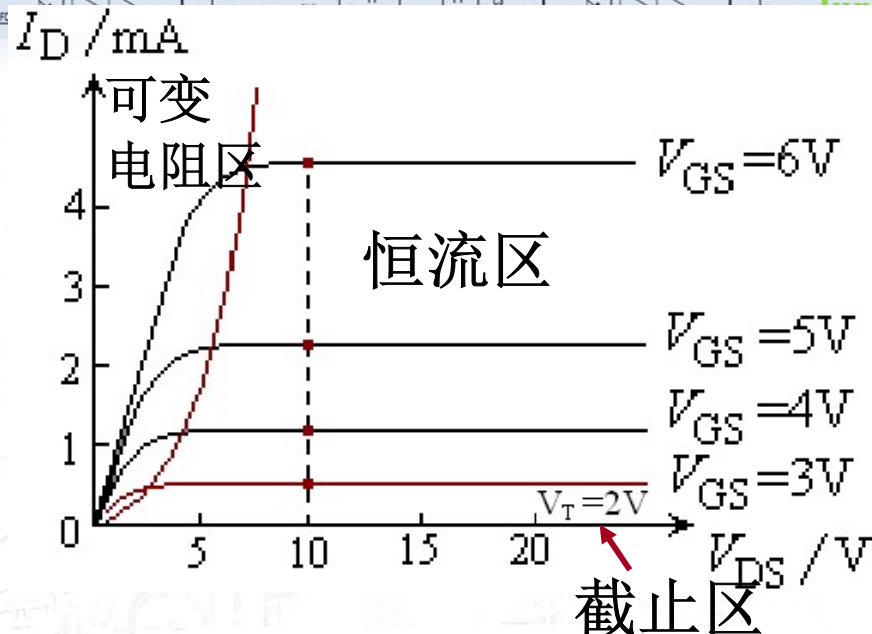
②  $I_{DSS}$ ——饱和漏极电流(耗尽型)

$V_{GS}=0$  (shorted)时

所对应的  $I_D$

③  $R_{GS}$ ——直流输入电阻

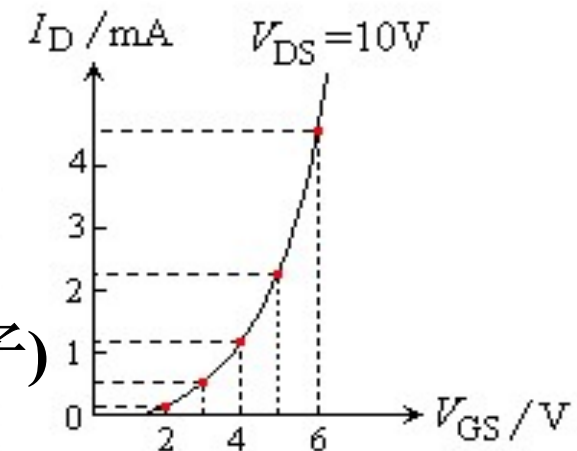
$$\text{约 } 10^9 \sim 10^{15} \Omega$$



## (2) 交流参数

### ① $g_m$ ——低频跨导transconductance

- 反映  $V_{GS}$  对  $I_D$  的控制作用(VCCS)
- $g_m = \Delta I_D / \Delta V_{GS} \mid V_{DS} = \text{const}$  (mS) (毫西门子)



$$g_m = 2K_n (v_{GS} - V_T) \quad (5.1.18)$$

$g_m$  可以在转移特性曲线上求取，即曲线的斜率

### (3) 安全参数 ①最大漏极电流 $I_{DM}$

#### ② $U_{BRXX}$ ——反向击穿电压

XX: GS、DS

#### ③ $P_{DM}$ ——最大漏极功耗

由  $P_{DM} = V_{DS} I_D$  决定

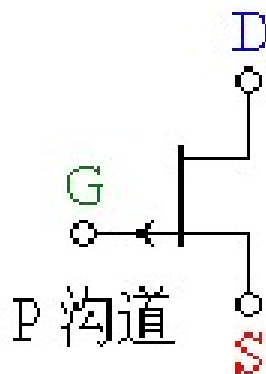
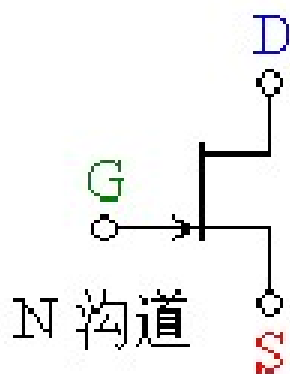
## 5.2 结型场效应管JFET

### Junction Field Effect Transistor

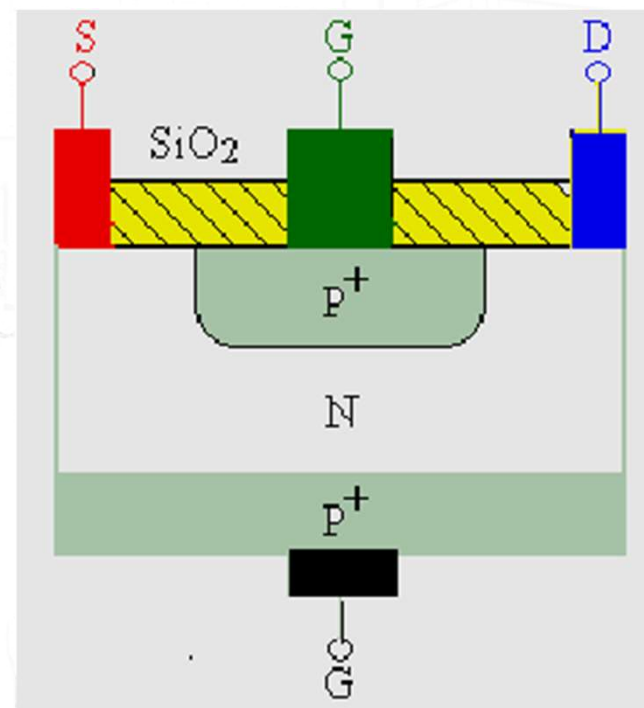
- 5.2.1 结构与符号
- 5.2.2 工作原理与特性曲线
- 5.2.3 主要参数

## 5.2.1 结构与符号

**JFET分为:**  
N沟道  
P沟道



箭头:  $P \rightarrow N$



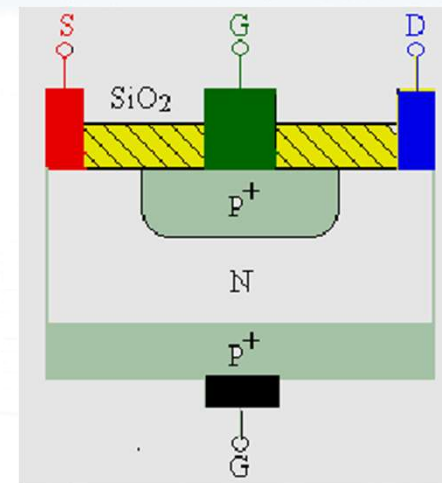


## 5.2.2 工作原理与特性曲线

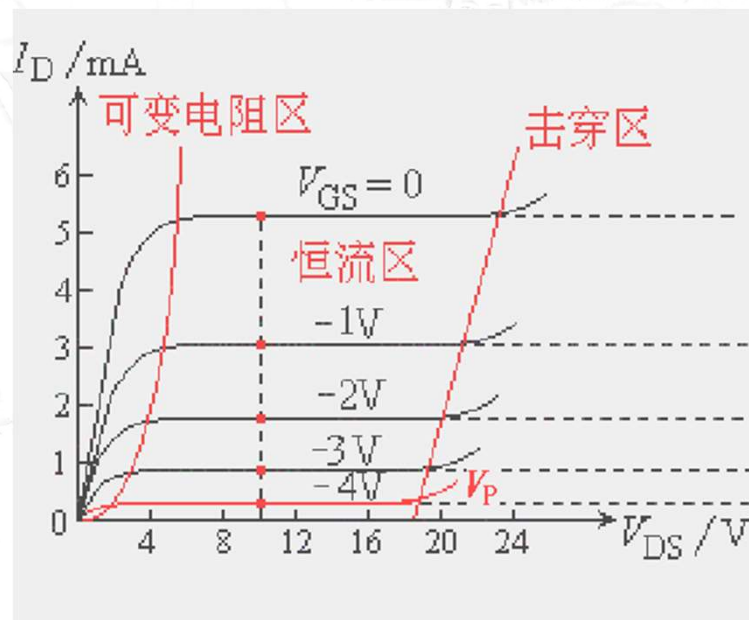
### 一、工作原理

1.  $v_{GS}$  控制沟道宽窄
2.  $v_{DS}$  控制沟道形状

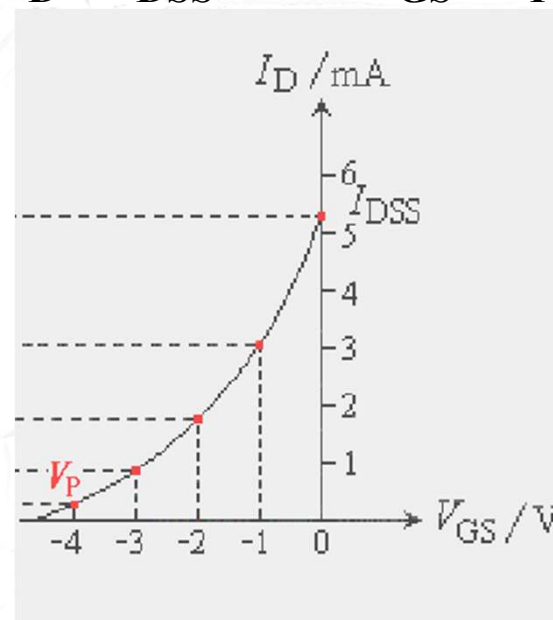
### 二、特性曲线



$$I_D = I_{DSS} [1 - (V_{GS} / V_P)]^2$$

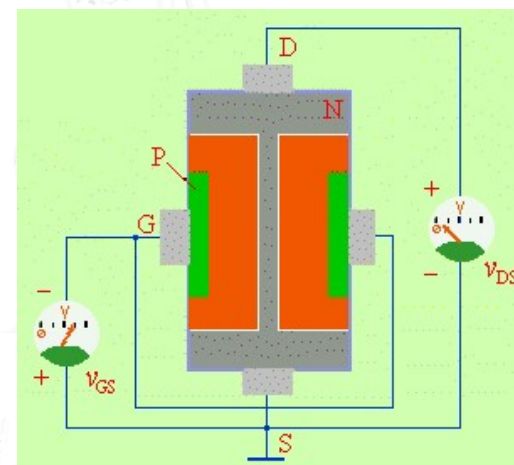
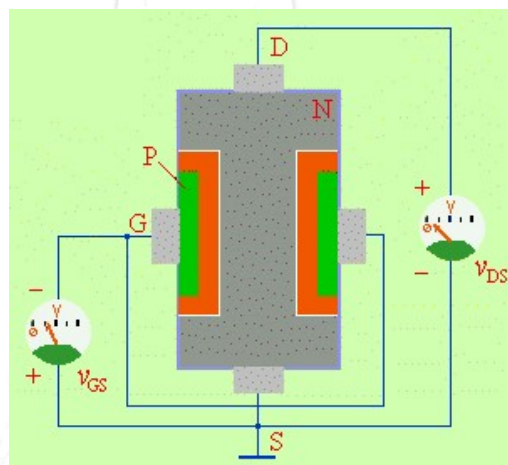
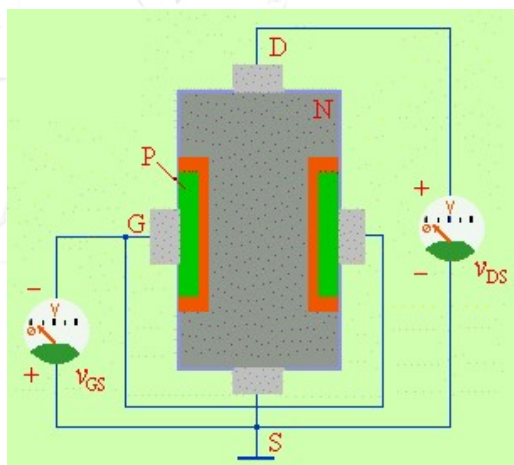
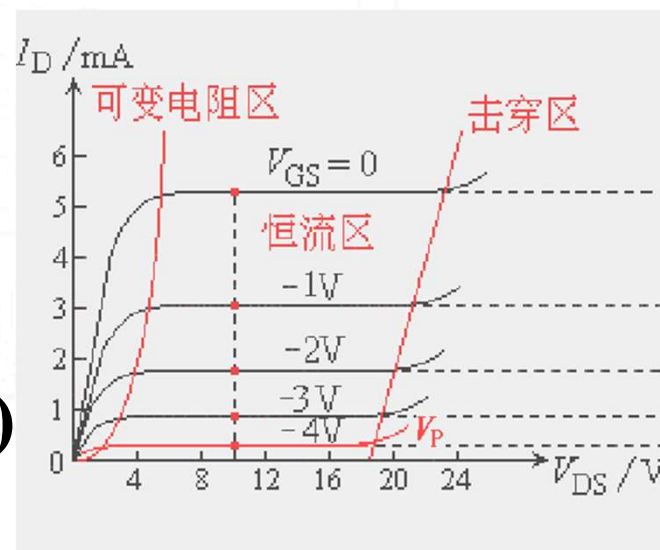
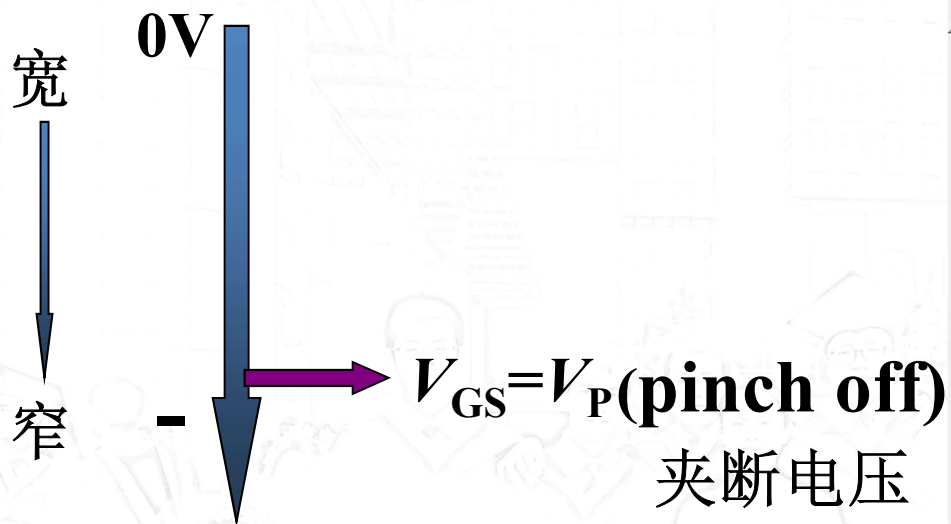


(a) 漏极输出特性曲线

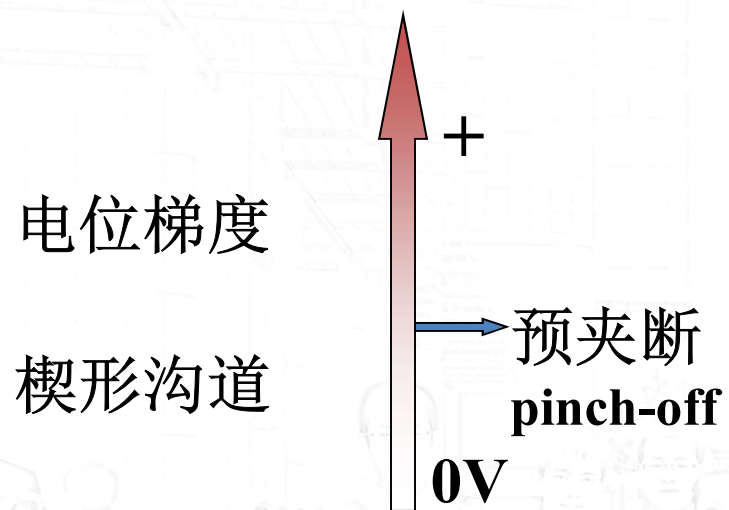


(b) 转移特性曲线

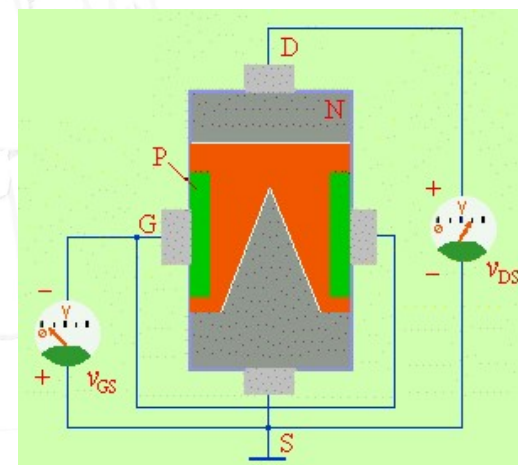
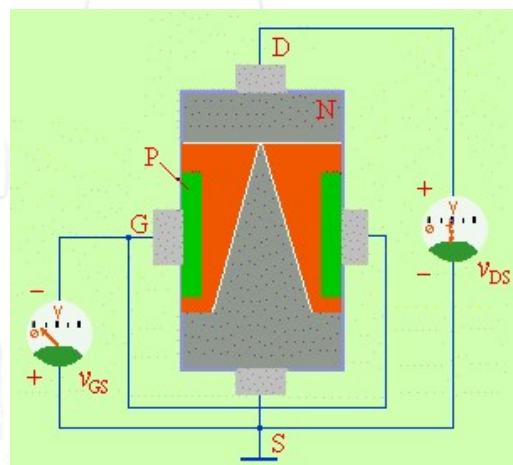
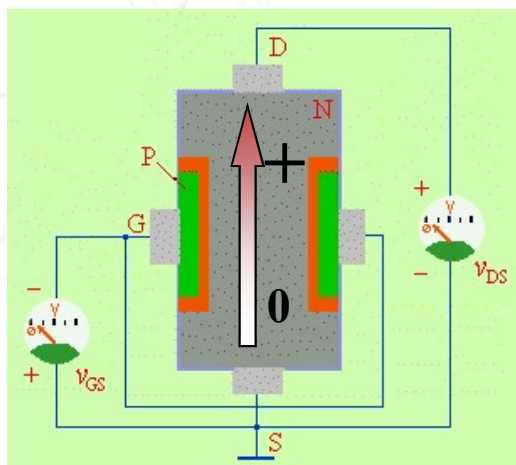
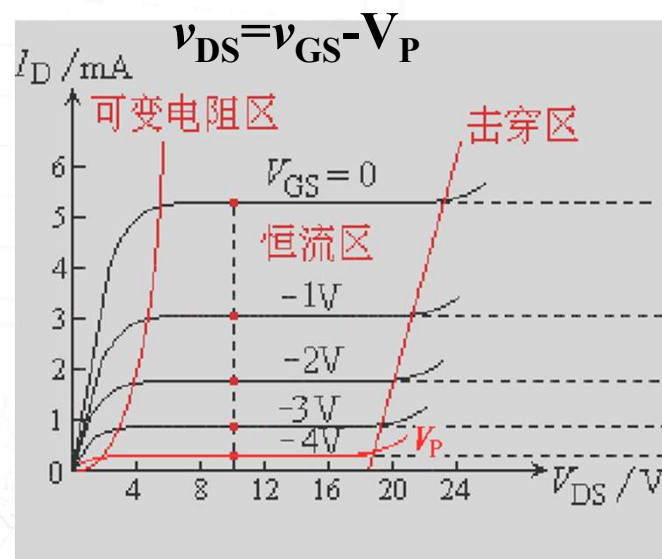
# 1. $v_{GS}$ 控制沟道宽窄 ( $v_{DS}=0$ ) $\rightarrow$ PN结必须反偏!



## 2. $v_{DS}$ 控制沟道形状 ( $v_{GS}=0$ )



预夹断临界点轨迹

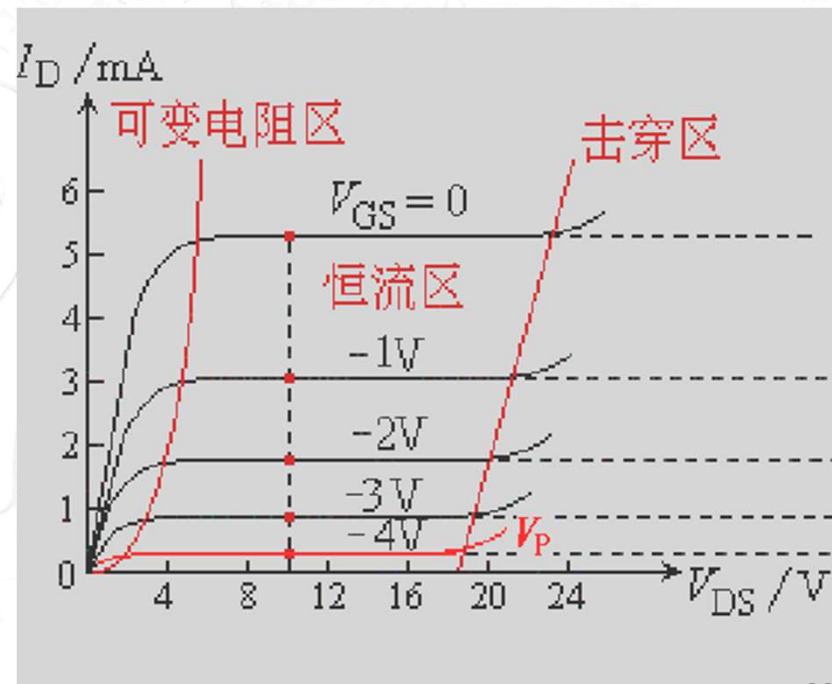


## 5.2.3 主要参数

与MOSFET不同的参数

①  $V_P$  夹断(pinch off)电压  
耗尽型FET的参数, 当  $V_{GS} = V_P$  时,  $I_D = 0$

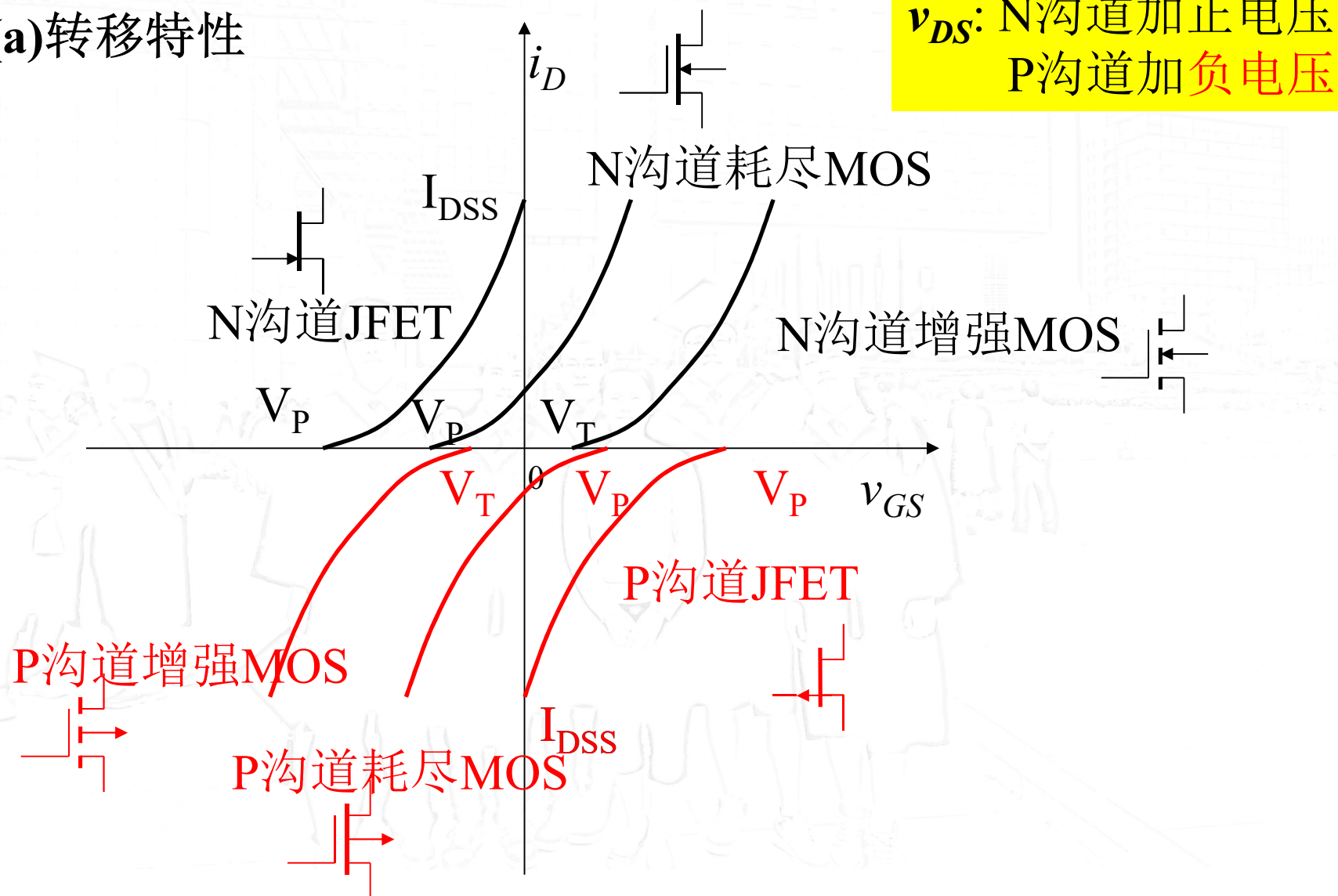
②  $R_{GS}$  输入电阻  
 $R_{GS}$  约大于  $10^7 \Omega$



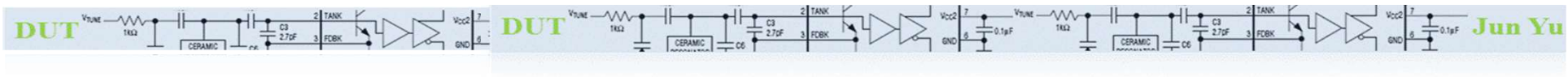


# 各种场效应管的转移特性和输出特性对比

(a) 转移特性







作业:

**P249: 5.1.1, 5.1.4**

**P251: 5.3.4**

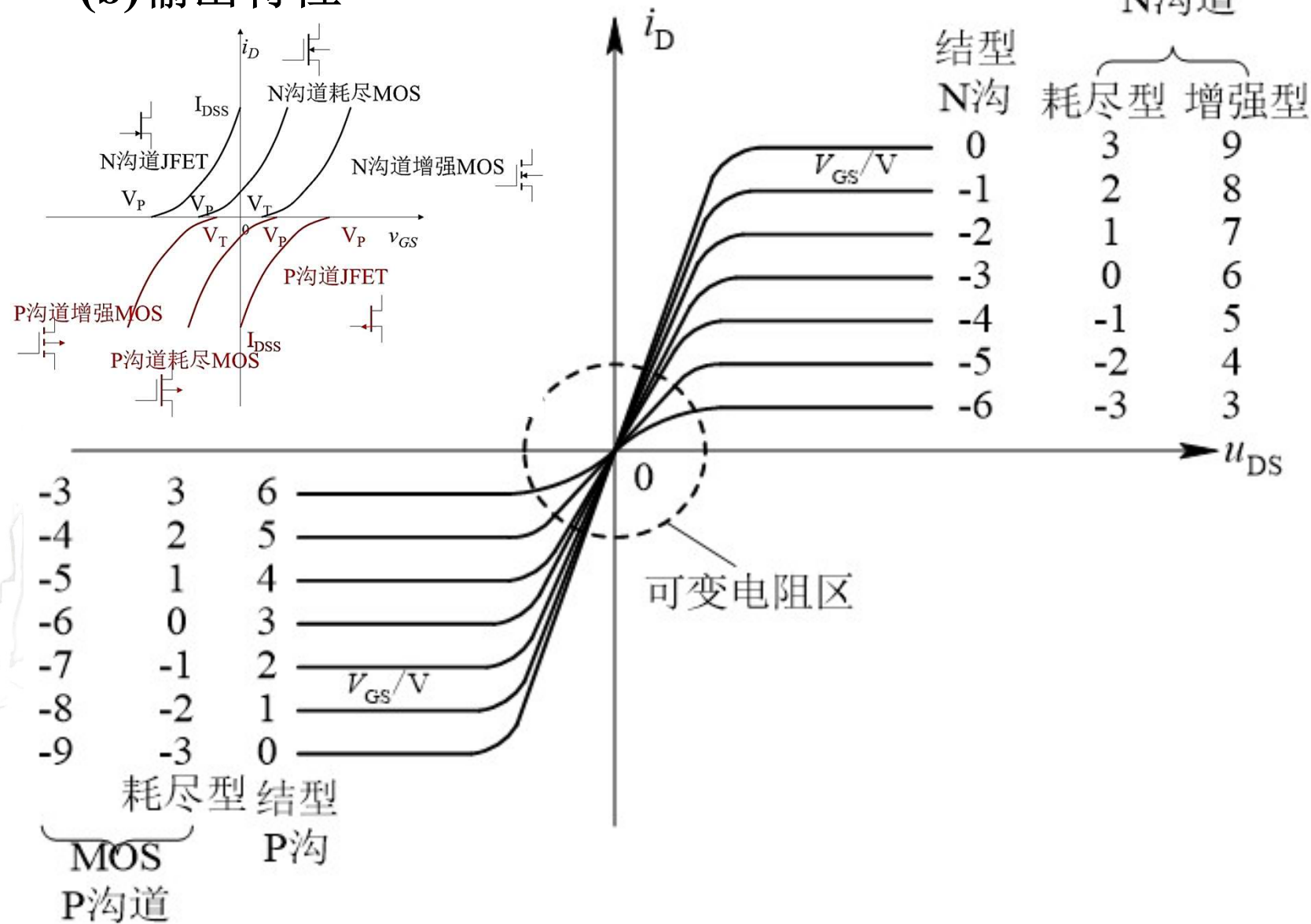
练习:

**P249: 5.1.2**

**P251: 5.3.5**

# 各种场效应管的转移特性和输出特性对比

## (b) 输出特性



## 5.3 型号(略)

### 双极型三极管和场效应型三极管的比较

	三 极 管	场 效 应 管
导电机制	双极性器件	单极性器件
导电方式	载流子的扩散与漂移	漂移
控制方式	电流控制	电压控制
类 型	NPN 型、PNP 型	P、N 沟道，增强、耗尽型、结型
放大参数	$\beta = 30 \sim 100$	$g_m = 1 \sim 6 \text{ mS}$
输入电阻	$10^2 \sim 10^4 \Omega$	$10^7 \sim 10^{15} \Omega$
抗辐射能力	差	好
噪 声	大	小
热稳定性	差	好
制造工艺	不宜大规模集成	小尺寸；便于大规模集成
对称性	C、E 不能互换	D、S 可以互换
静电影响	不受静电影响	易受静电影响

# § 5 场效应管放大电路 Field-Effect Transistors

管子的输入阻抗:

电容(绝缘)

反偏pn结

正偏pn结

>100MΩ

>10MΩ

k Ω

## 5.1 MOSFET

## 5.2 JFET

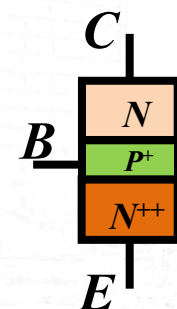
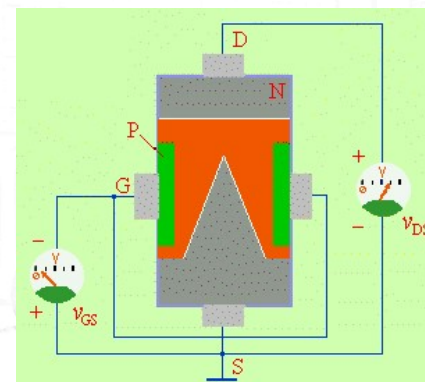
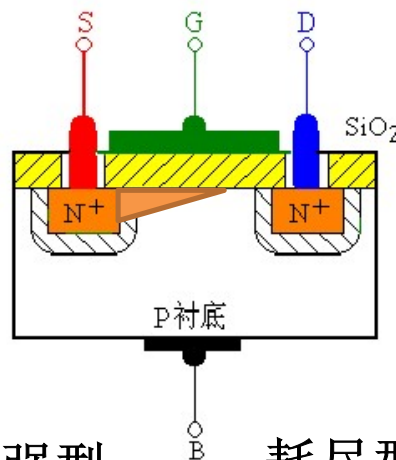
## 5.3 型号

NMOS

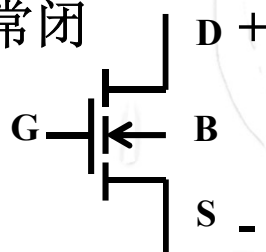
N沟道, 电子导电,  
低电平端为源极,  
实际电流方向D→S

PMOS

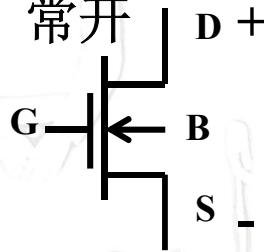
P沟道, 空穴导电,  
高电平端为源极,  
实际电流方向S→D



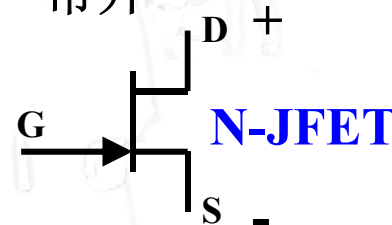
增强型  
常闭



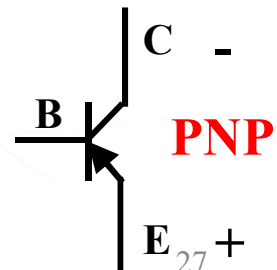
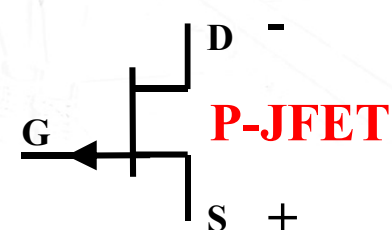
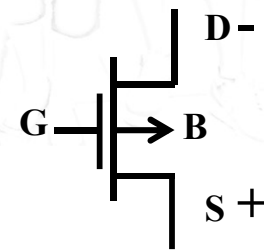
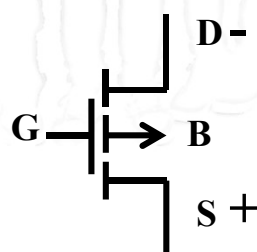
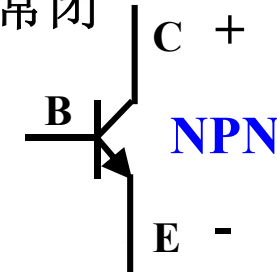
耗尽型  
常开



常开



常闭



## 5.4 FET放大电路

### 5.4.1 Common-Source Amplifier (共源)

### 5.4.2 Common-Drain Amplifier (共漏)

### 5.4.3 Comparison of Three Basic Amplifier Configurations (三种组态比较)



**BJT**



**CCCS**

**FET**



**VCCS**

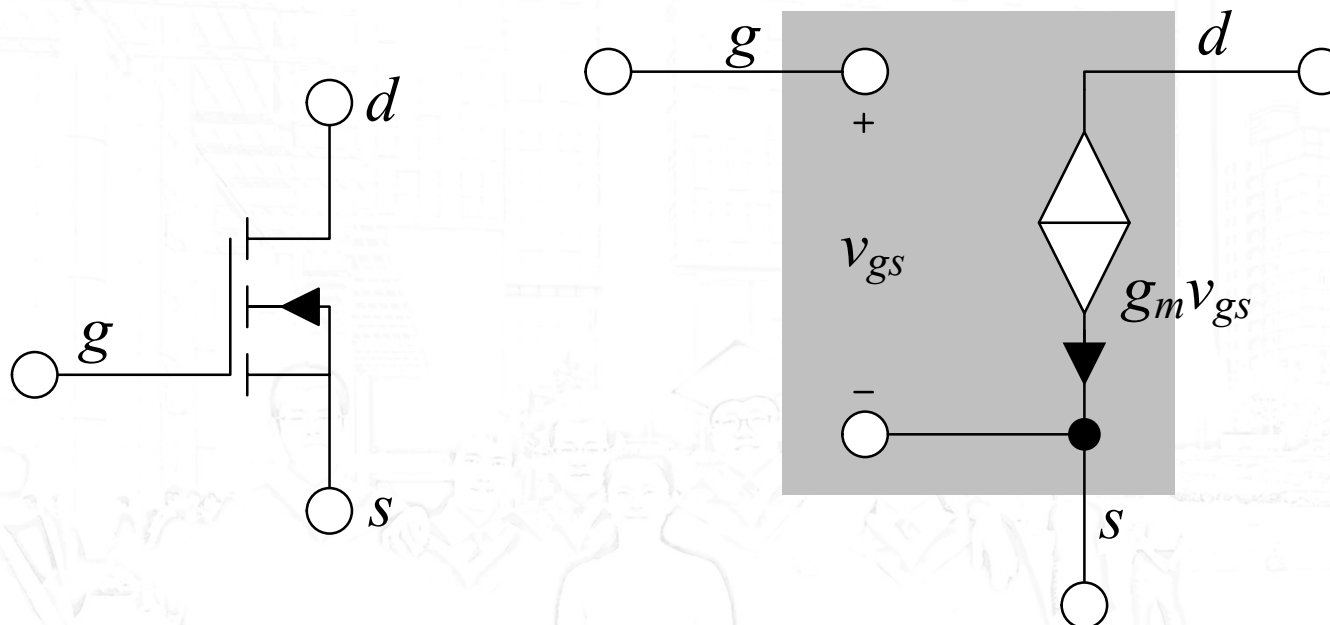


**The type is different**



**Bias circuit  
is different**

# FET的小信号模型



## 耗尽型MOS以及JFET

### 增强型MOS

$$i_D = K_N (v_{GS} - V_T)^2$$

$$g_m = 2K_N (V_{GS} - V_T)$$

$$i_D = I_{DSS} [1 - (v_{GS} / V_P)]^2$$

$$i_D = K_P (v_{GS} - V_P)^2$$

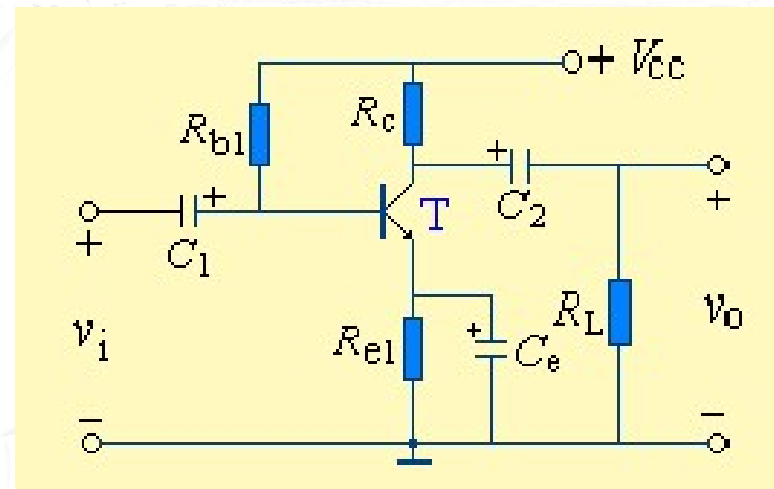
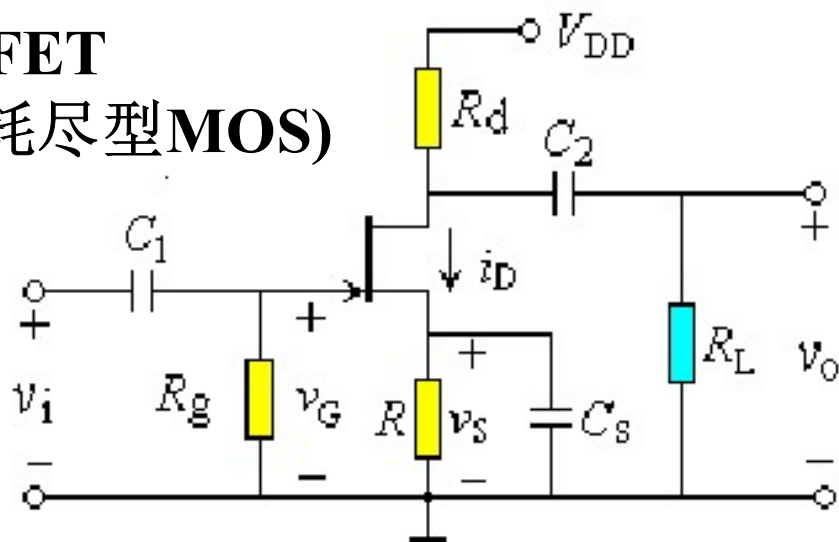
$$K_P = I_{DSS} / V_P^2$$

$$g_m = 2K_P (V_{GS} - V_P)$$

## 5.4.1 共源放大电路 (CS)

(例1) 某N-JFET共源极放大器

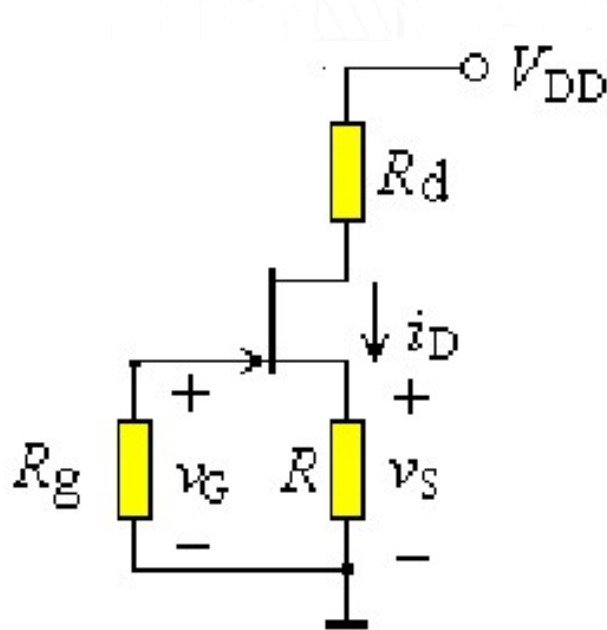
**JFET**  
(耗尽型MOS)



CS ↔ CE

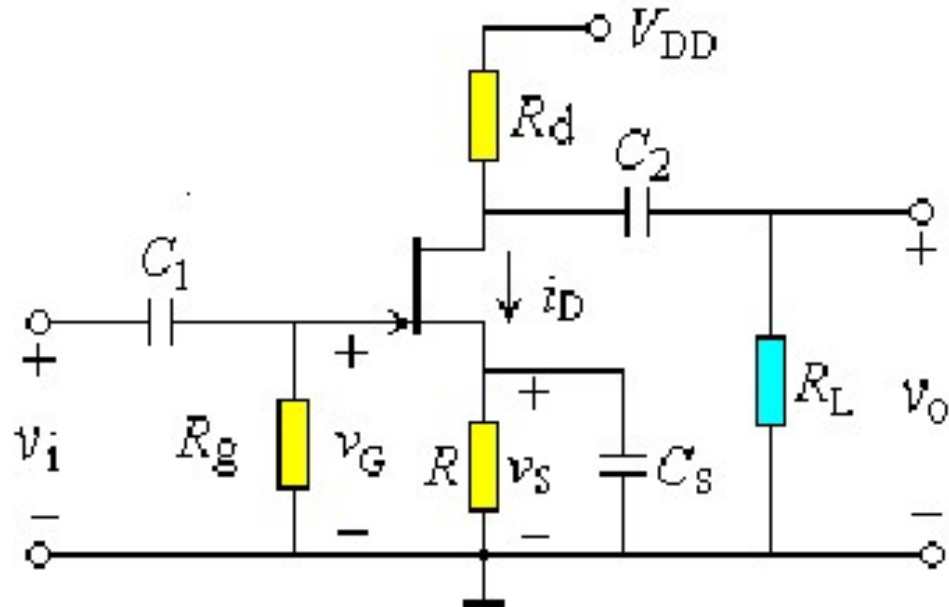
# (1) 静态分析

(Q:  $V_{GS}$ ,  $I_D$ ,  $V_{DS}$ )



自偏压电路

Q计算:

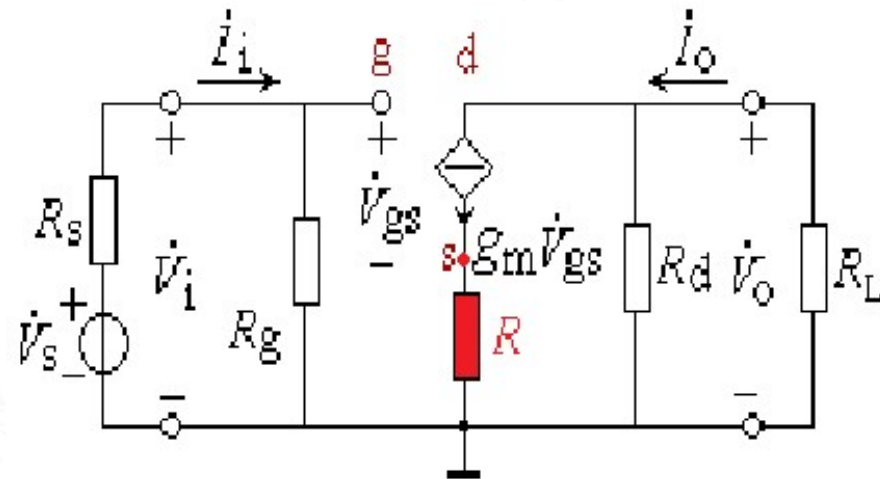
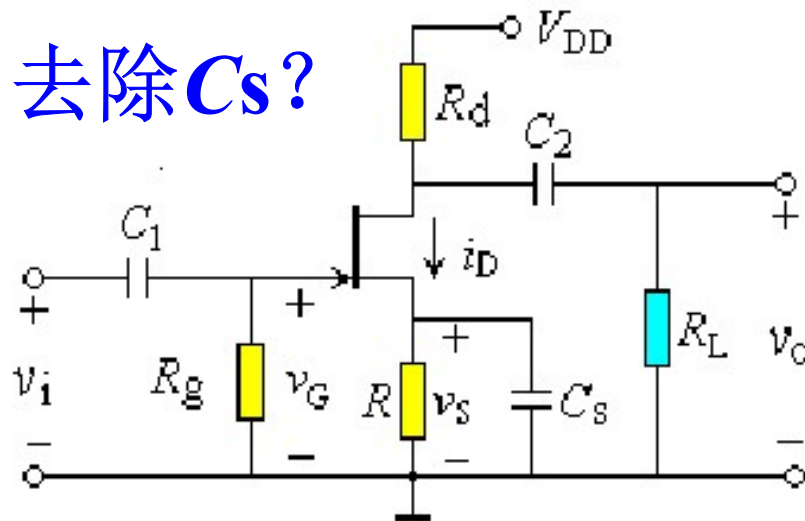


$$\begin{cases} V_{GS} = V_G - V_S = 0 - I_D R = -I_D R \\ I_D = I_{DSS} [1 - (V_{GS} / V_P)]^2 \\ V_{DS} = V_{DD} - I_D (R_d + R) \end{cases}$$

## (2) 交流分析

$$\dot{A}_v = \frac{\dot{V}_o}{\dot{V}_i} = \frac{-g_m \dot{V}_{gs} (R_d // R_L)}{\dot{V}_{gs} + g_m \dot{V}_{gs} R} = -\frac{g_m R'_L}{1 + g_m R}$$

去除  $C_s$ ?



### ① Small-signal voltage gain ( $A_v$ )

$$\dot{A}_v = \frac{\dot{V}_o}{\dot{V}_i} = \frac{-g_m \dot{V}_{gs} (R_d // R_L)}{\dot{V}_{gs}} = -g_m R'_L \quad R'_L = R_d // R_L$$

### ② Input resistance $R_i = \frac{\dot{V}_i}{\dot{I}_i} = R_g$

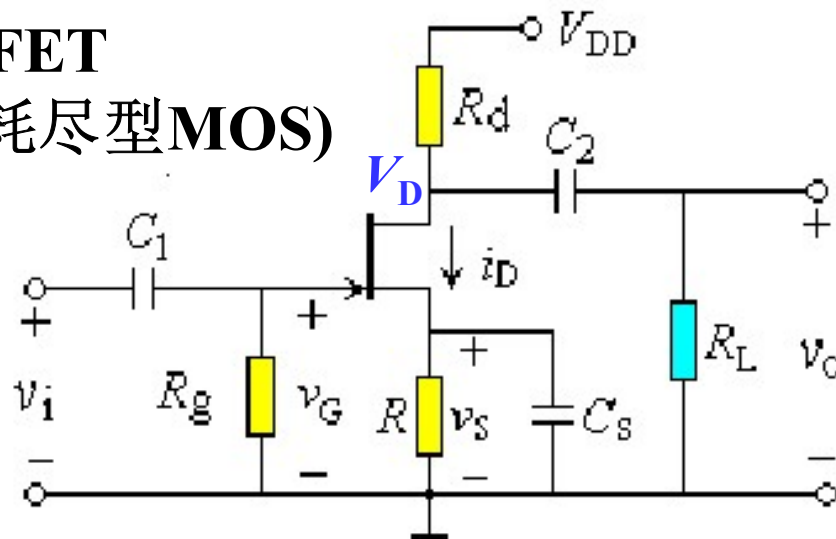
### ③ Output resistance

$$R_o = \left. \frac{\dot{V}'_o}{\dot{I}'_o} \right|_{R_L=\infty, \dot{V}_s=0} = R_d$$



## (例) 某N-JFET共源极放大器

**JFET**  
(耗尽型MOS)



已知 $V_s$ 和 $g_m$

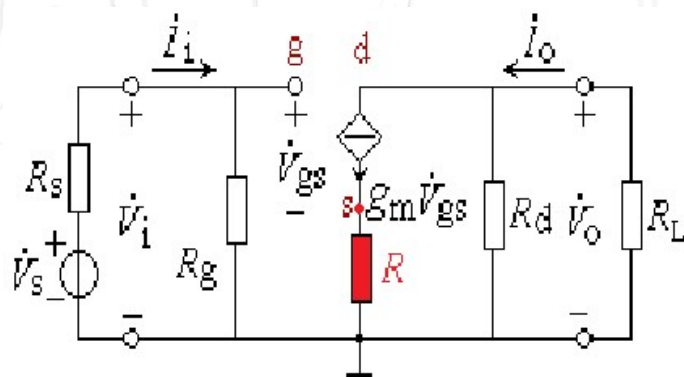
(1) 静态分析 (Q点:  $V_{GS}$ ,  $I_D$ ,  $V_{DS}$ )

$$I_{D1} = V_s / R$$

$$V_{GS} = V_g - V_s = -V_s$$

$$V_D = V_{DD} - I_{D1} R_d$$

(2) 动态分析



$$A_v = -g_m R'_L \quad R'_L = R_d // R_L$$

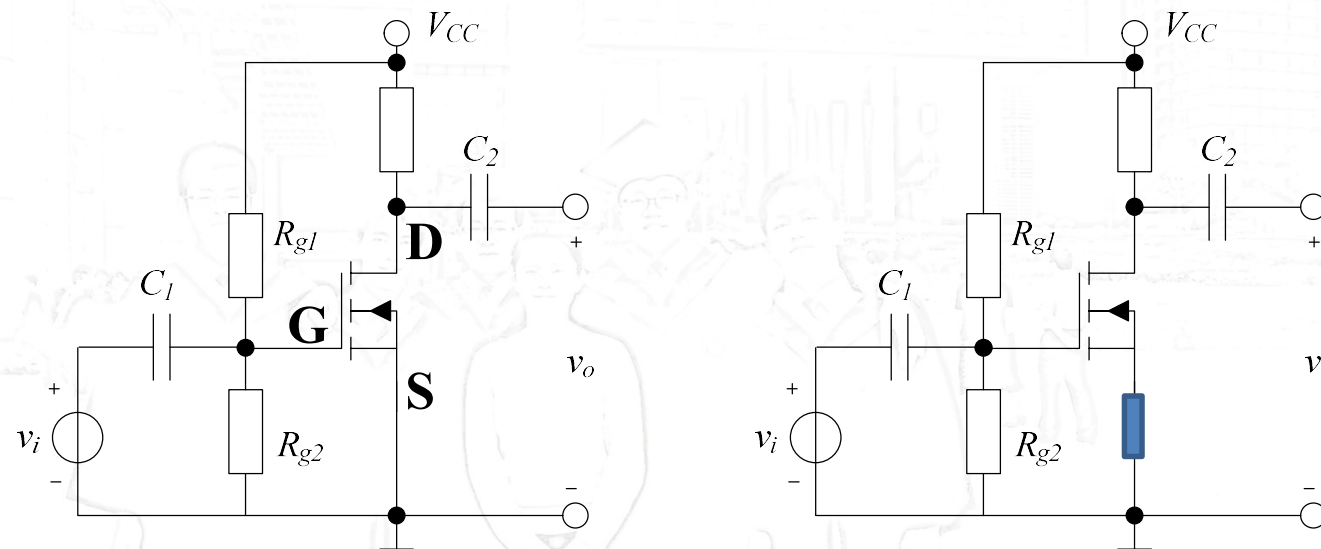
$$R_i = R_g$$

$$R_o = R_d$$

## 5.4.1 共源放大电路 (CS)

(例2) 某增强型NMOS共源极放大器

NMOS: 低电平端为源级



大信号分析

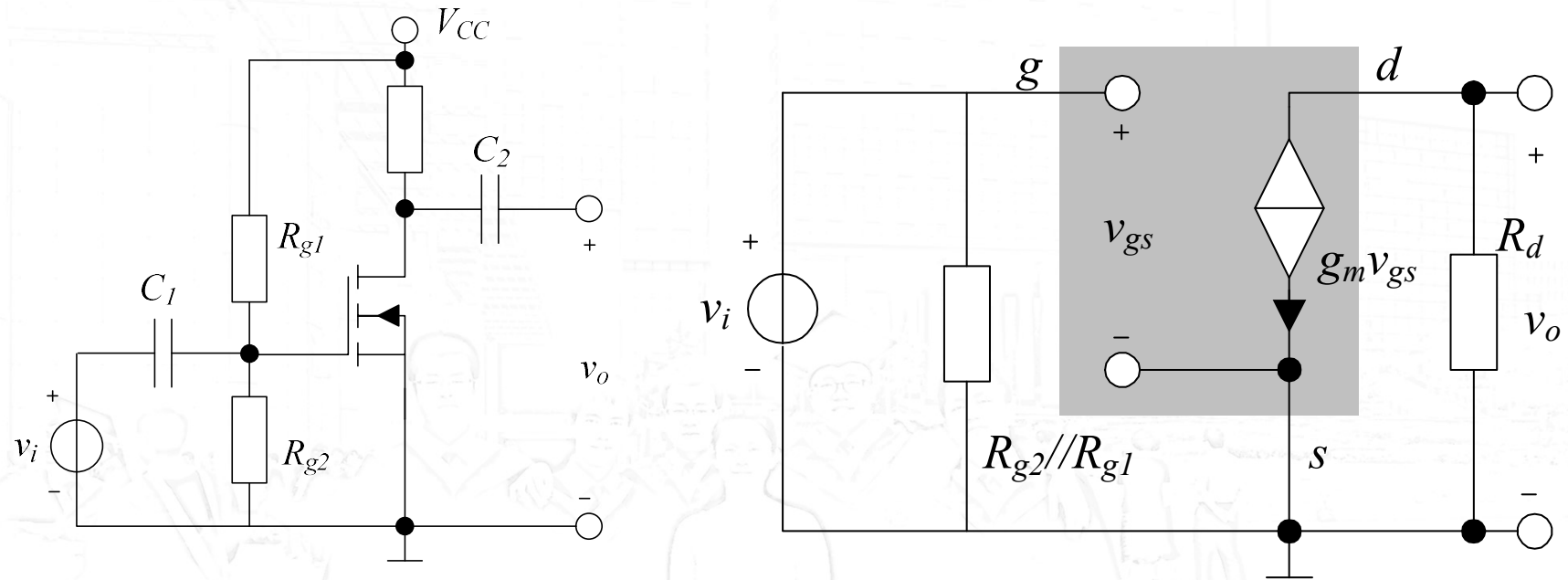
$$V_{GS} = \frac{V_{CC} R_{g2}}{R_{g1} + R_{g2}}$$

$$I_D = K_N (V_{GS} - V_T)^2$$

$$V_{DS} = V_{CC} - I_D R_D$$

$$g_m = 2K_N (V_{GS} - V_T)$$

# 交流小信号分析



$$A_v = \frac{v_o}{v_i} = -g_m R_d$$

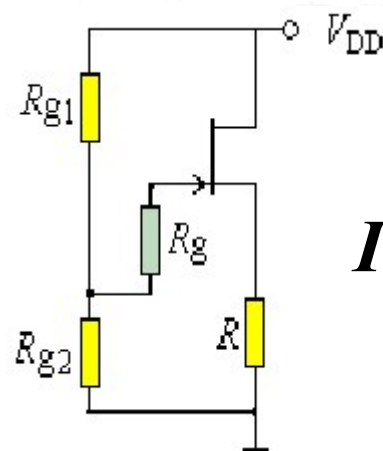
$$R_i = R_{g1} \parallel R_{g2}$$

$$R_o = R_d$$

## 5.4.2 共漏放大电路 (CD)

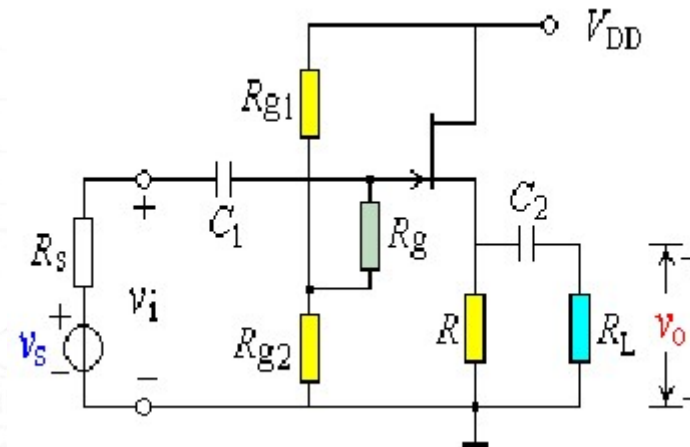
CD  $\longleftrightarrow$  CC

(1) 静态分析



$$I_G \approx 0$$

分压式偏置电路

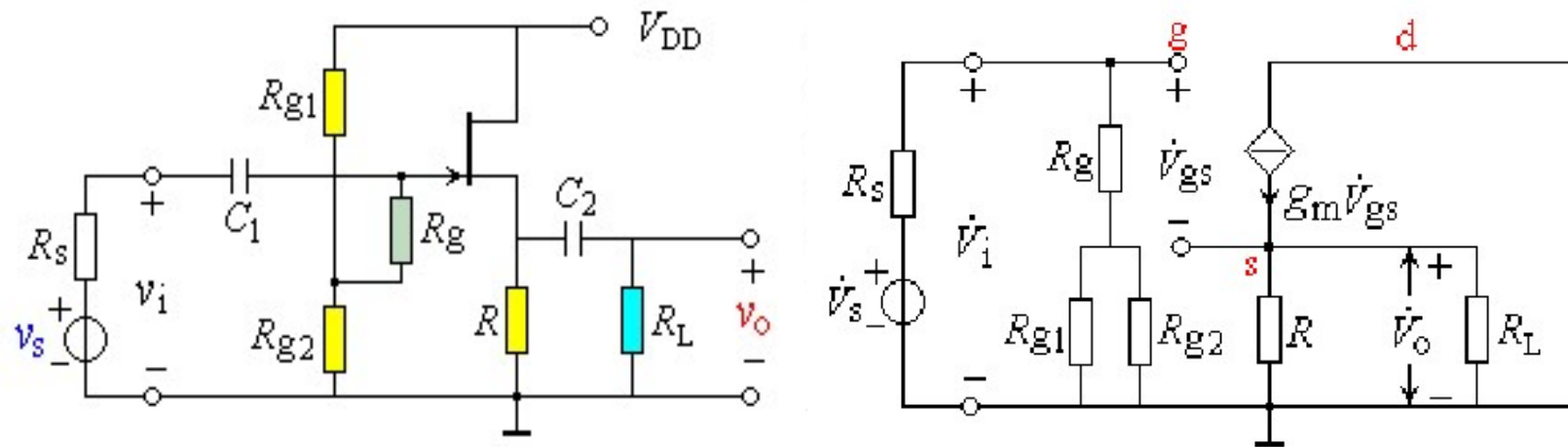


$$V_G = V_{DD} R_{g2} / (R_{g1} + R_{g2})$$

$$\begin{cases} V_{GS} = V_G - V_S = V_G - I_D R \\ I_D = I_{DSS} [1 - (V_{GS} / V_P)]^2 \end{cases}$$

$$V_{DS} = V_{DD} - I_D R$$

## (2) AC Analysis



### ① Small-signal voltage gain

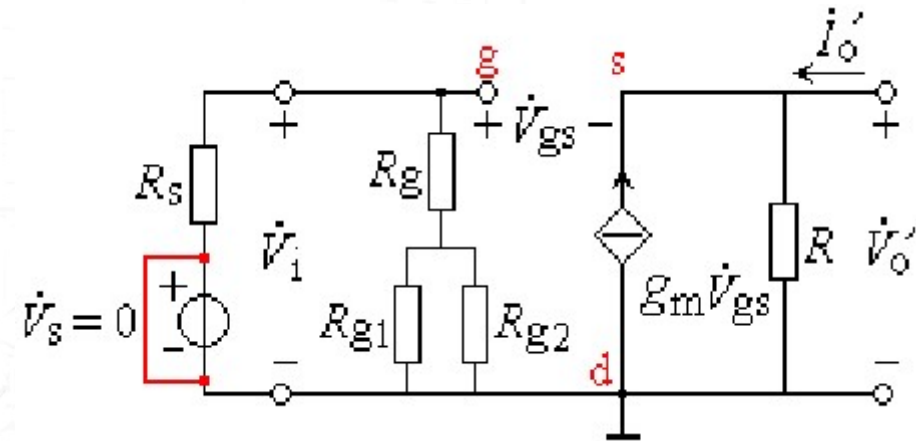
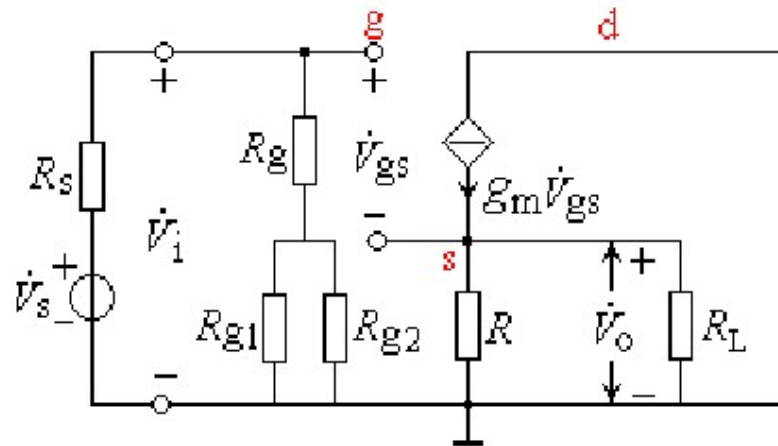
$$\dot{A}_v = \frac{\dot{V}_o}{\dot{V}_i} = \frac{g_m \dot{V}_{gs} (R // R_L)}{\dot{V}_{gs} + g_m \dot{V}_{gs} (R // R_L)} = \frac{g_m R'_L}{1 + g_m R'_L} \quad (R'_L = R // R_L)$$

### ② Input resistance

$$R_i = R_g + (R_{g1} // R_{g2})$$



### ③ Output resistance



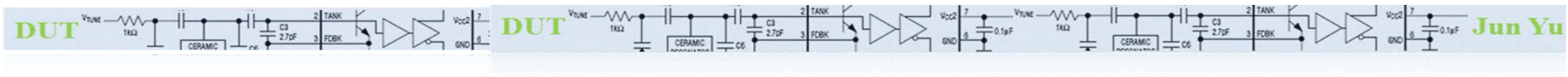
$$R_o = \frac{\dot{V}'_o}{\dot{I}'_o} \Big|_{R_L = \infty, \dot{V}_s = 0}$$

$$\dot{I}'_o = \frac{\dot{V}'_o}{R} - g_m \dot{V}_{gs}$$

$$\dot{V}_{gs} = 0 - \dot{V}_s = -\dot{V}'_o$$

$$\dot{I}'_o = \frac{\dot{V}'_o}{R} + \frac{\dot{V}'_o}{1/g_m}$$

$$R_o = \frac{\dot{V}'_o}{\dot{I}'_o} = R \parallel \frac{1}{g_m}$$



## 5.4.3 三种组态放大电路比较

### BJT-FET

**The small-signal characteristics**

(交流指标)

$$\frac{\beta}{r_{be}} \Leftrightarrow g_m$$

	CE / CC / CB	CS / CD / CG
$\dot{A}_v$	$\text{CE} : \dot{A}_v = -\frac{\beta R'_L}{r_{be}}$ $\text{CC} : \dot{A}_v = \frac{(1+\beta)R'_L}{r_{be} + (1+\beta)R'_L}$ $\text{CB} : \dot{A}_v = +\frac{\beta R'_L}{r_{be}}$	$\text{CS} : \dot{A}_v = -g_m R'_L$ $\text{CD} : \dot{A}_v = \frac{g_m R'_L}{1 + g_m R'_L}$ $\text{CG} : \dot{A}_v = +g_m R'_L$
$R_i$	$\text{CE} : R_b // r_{be}$ $\text{CC} : R_b // [r_{be} + (1+\beta)R'_L]$ $\text{CB} : R_e // [r_{be}/(1+\beta)]$	$\text{CS} : R_{g1} // R_{g2}$ $\text{CD} : R_g + (R_{g1} // R_{g2})$ $\text{CG} : R // (1/g_m)$
$R_o$	$\text{CE} : R_c$ $\text{CC} : R_e // \frac{r_{be} + R_b // R_s}{1+\beta}$ $\text{CB} : R_c$	$\text{CS} : R_d$ $\text{CD} : R // (1/g_m)$ $\text{CG} : R_d$

## 5.5 Summary and Requirements

### Summary: Devices and Circuits

#### \*Devices: FET

##### 1. Class (type):

(1)Carrier involved (2)Physical structure (3) Operation

N-channel

MOSFET

Enhancement-mode

P-channel

JFET

Depletion-mode

##### 2. I-V Characteristics

VCCS (Three regions)

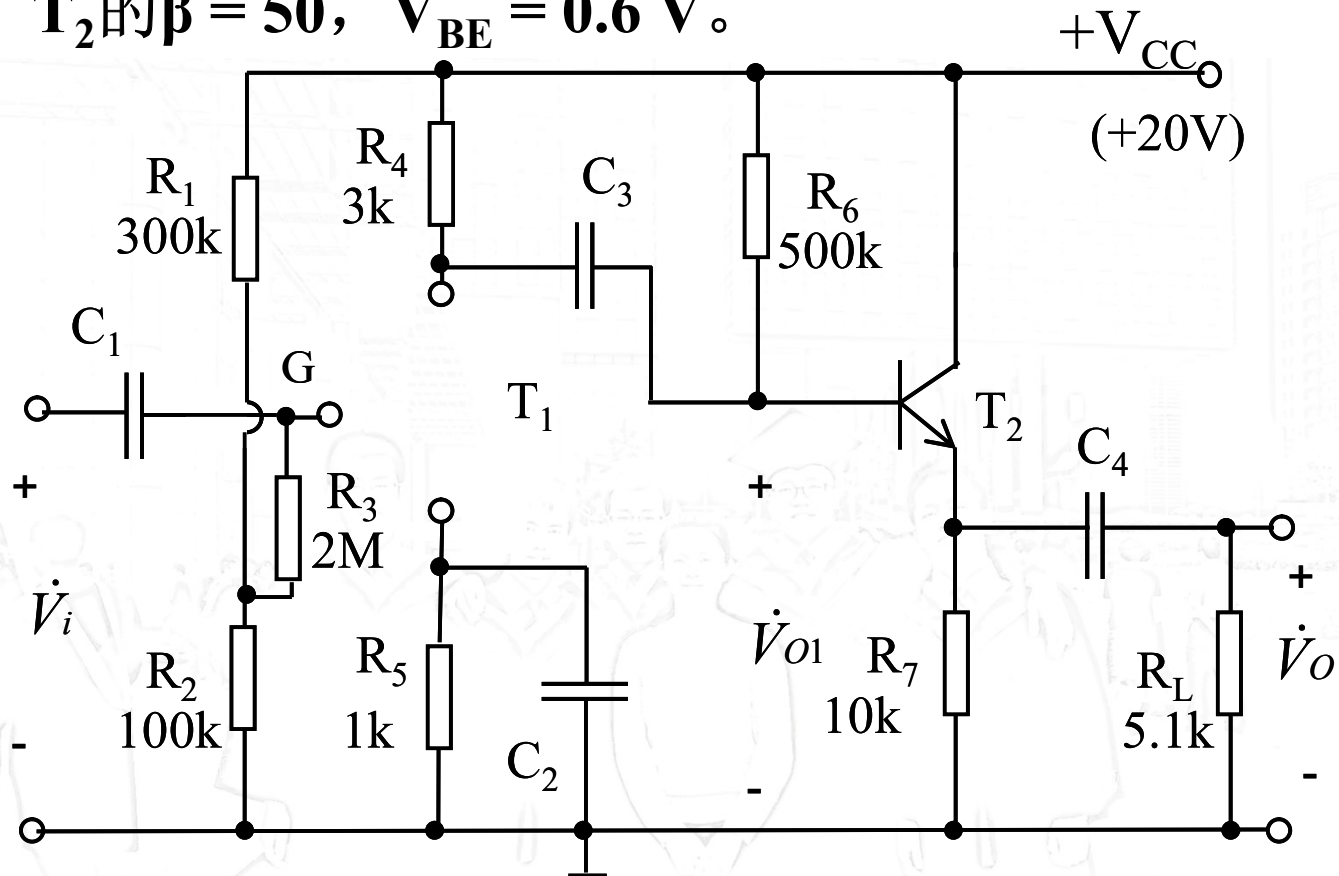
##### 3.Parameters:

$g_m$ ,  $V_T$  ( $V_P$ )

#### \*Circuits: Three configurations, two biasing circuits

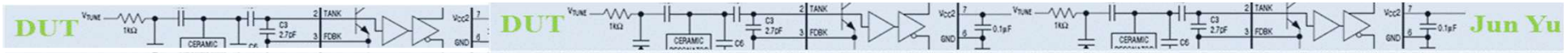
DC and AC analysis for CS and CD circuits

两级电压放大电路如下图所示。 $T_1$ 的漏极电位 $V_D = 14V$ ，其 $g_m = 3ms$ ， $T_2$ 的 $\beta = 50$ ， $V_{BE} = 0.6V$ 。



- (1) 在 $T_1$ 位置上画出合适的FET;
- (2) 求 $T_1$ 的静态值  $I_D$ 、 $V_{DS}$ 、 $V_{GS}$ ?
- (3) 求 $T_2$ 的静态值 $I_B$ 、 $I_C$ 、 $V_{CE}$ ?
- (4) 画出微变等效电路，并求 $A_v$ 、 $R_i$ 、 $R_o$ ;
- (5) 求 $C_3$ 引起的 $f_L$ 。





作业:

**P249: 5.1.1, 5.1.4**

**P251: 5.3.4**

**P251: 5.2.9**

**P254: 5.5.4 (multistage amplifier)**